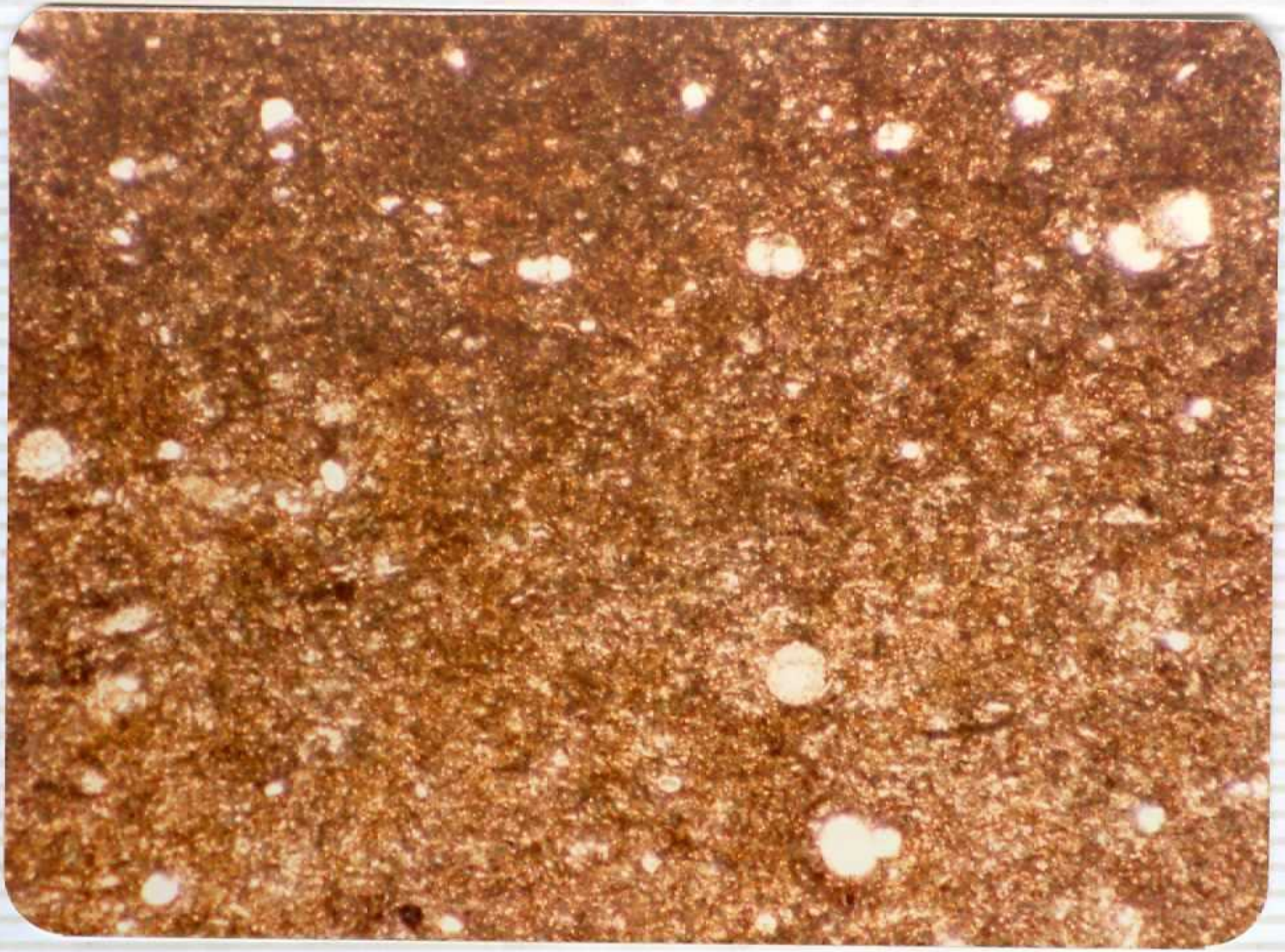
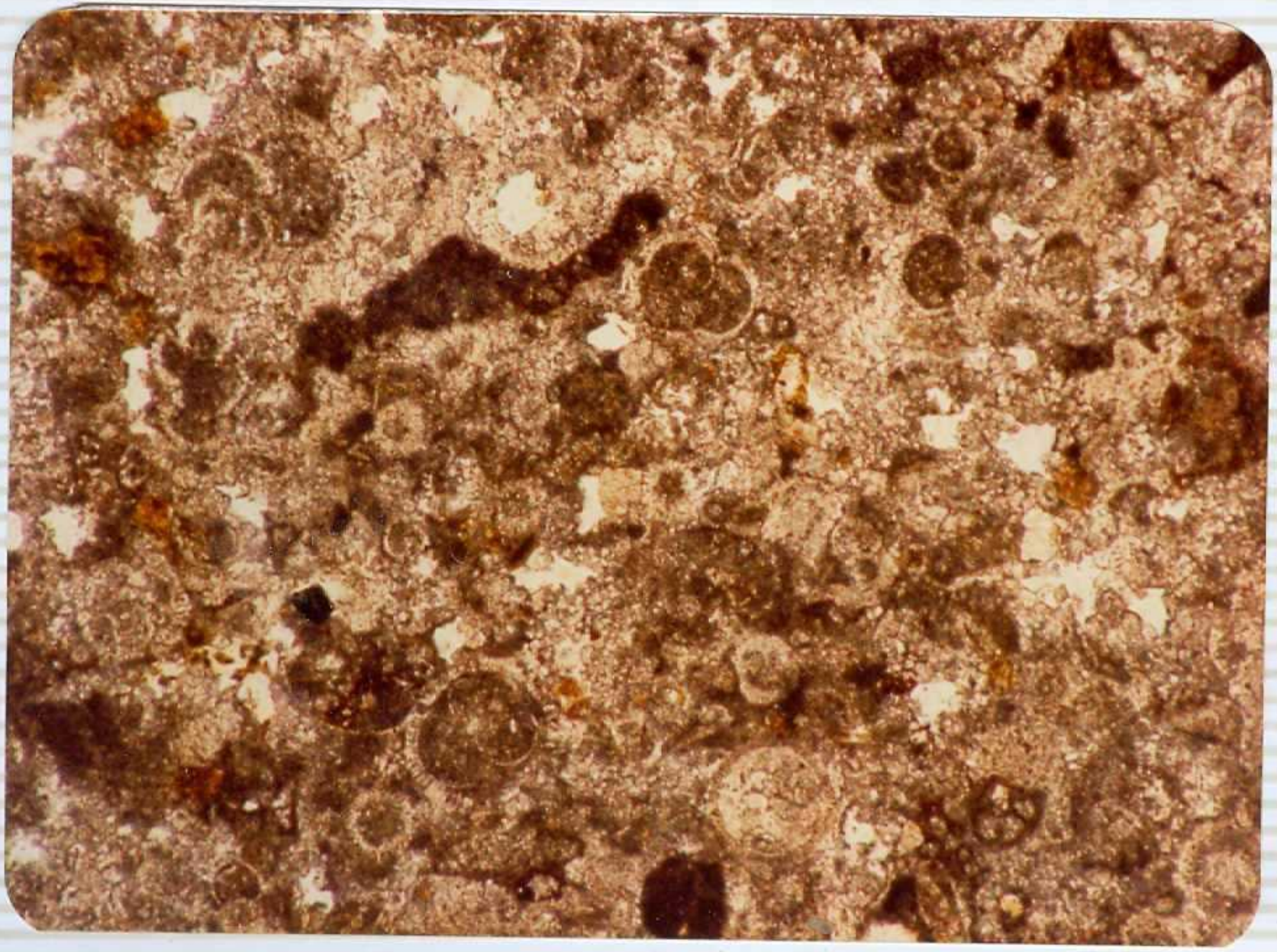
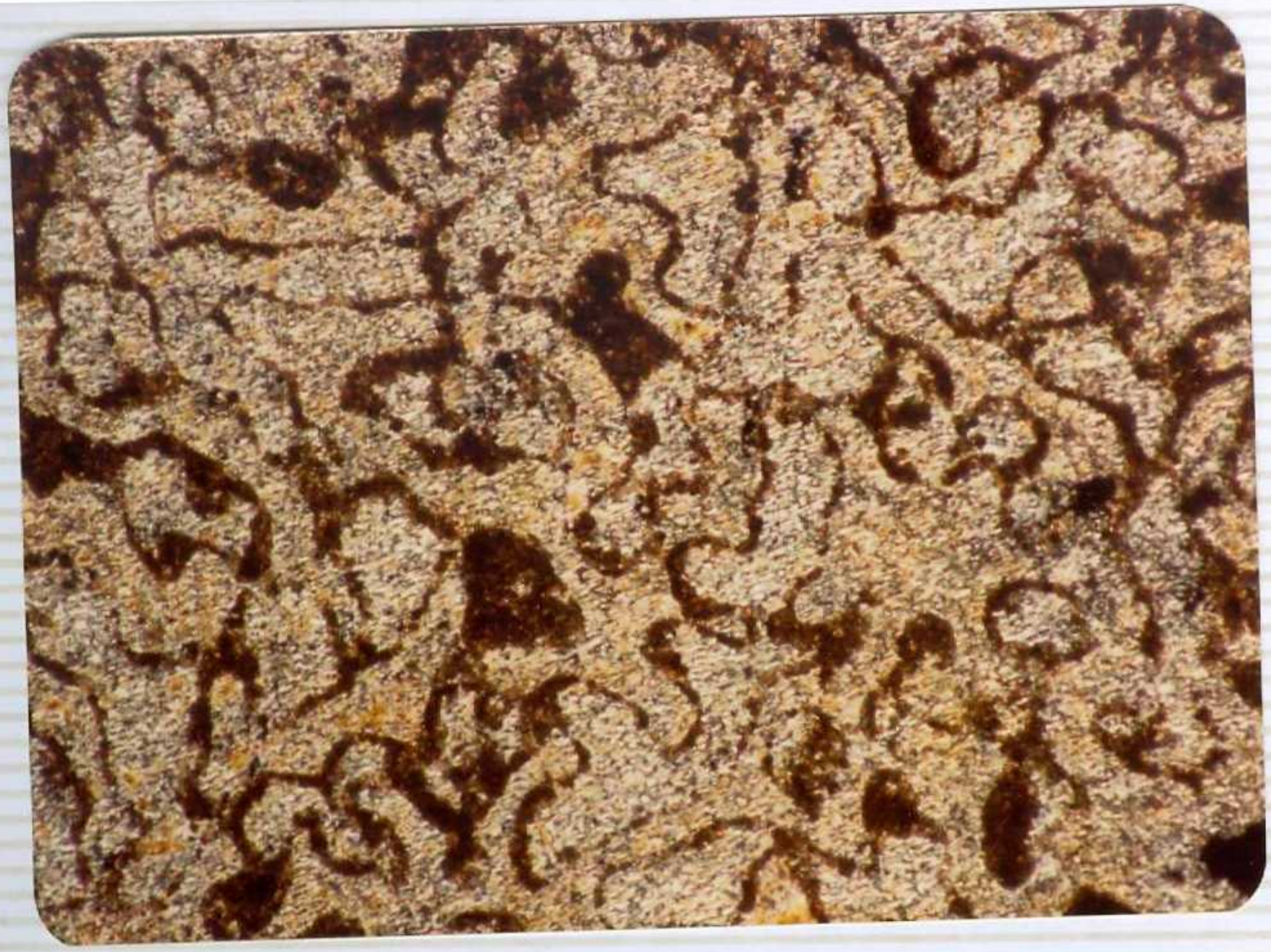


24/43-IB-JG-202.- Silexita y foraminíferos planctónicos.





24/43-IB-JG-203.- Grainstone de Globigerinas, en el interior de las mismas existe restos de una matriz micrítica.

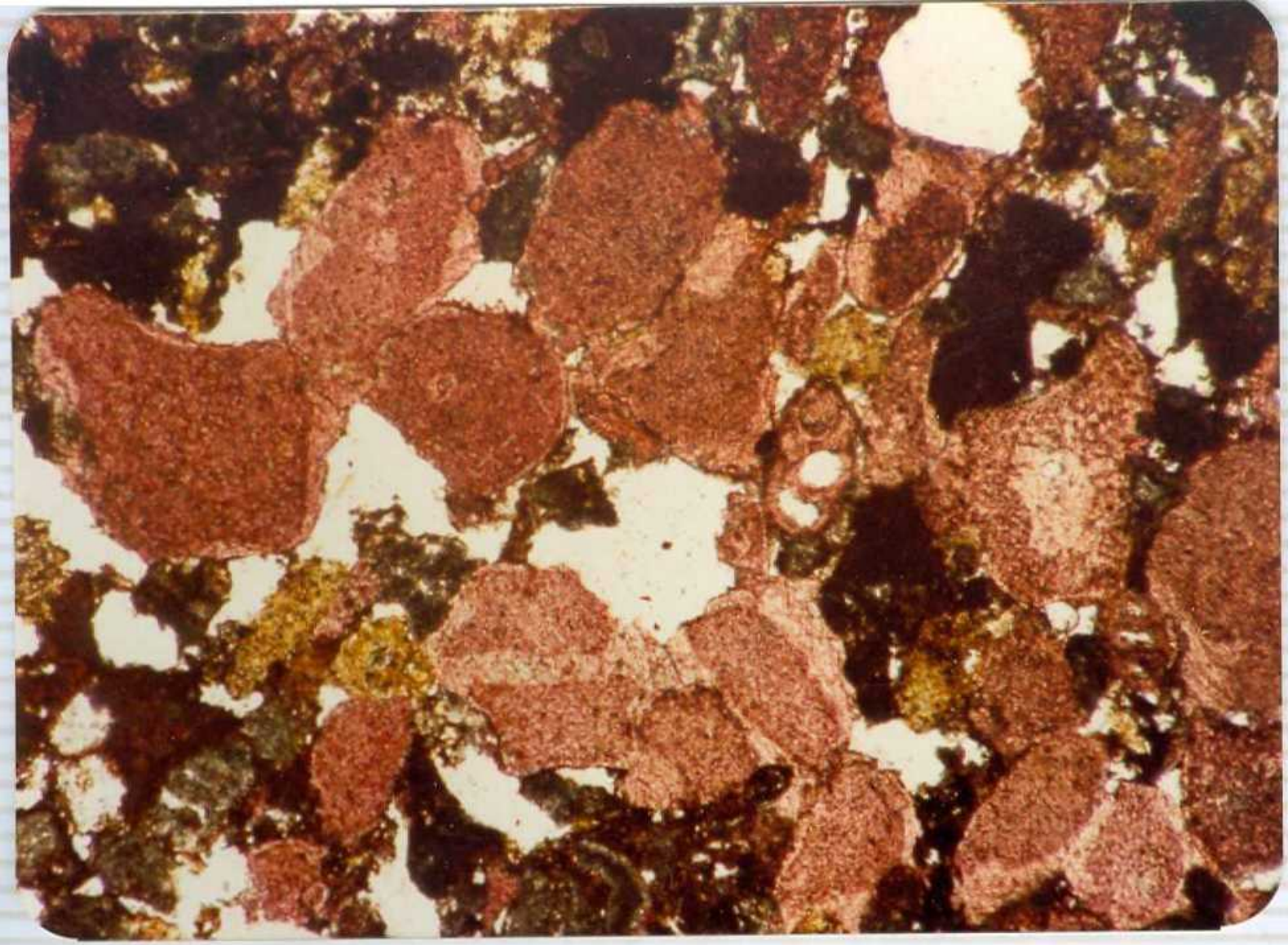


24/43-IB-JG-212.- Frangmento de Porites completamente disuelto y rellenado con cemento de yeso. La micrita que se observa corresponde a sedimento interno original.



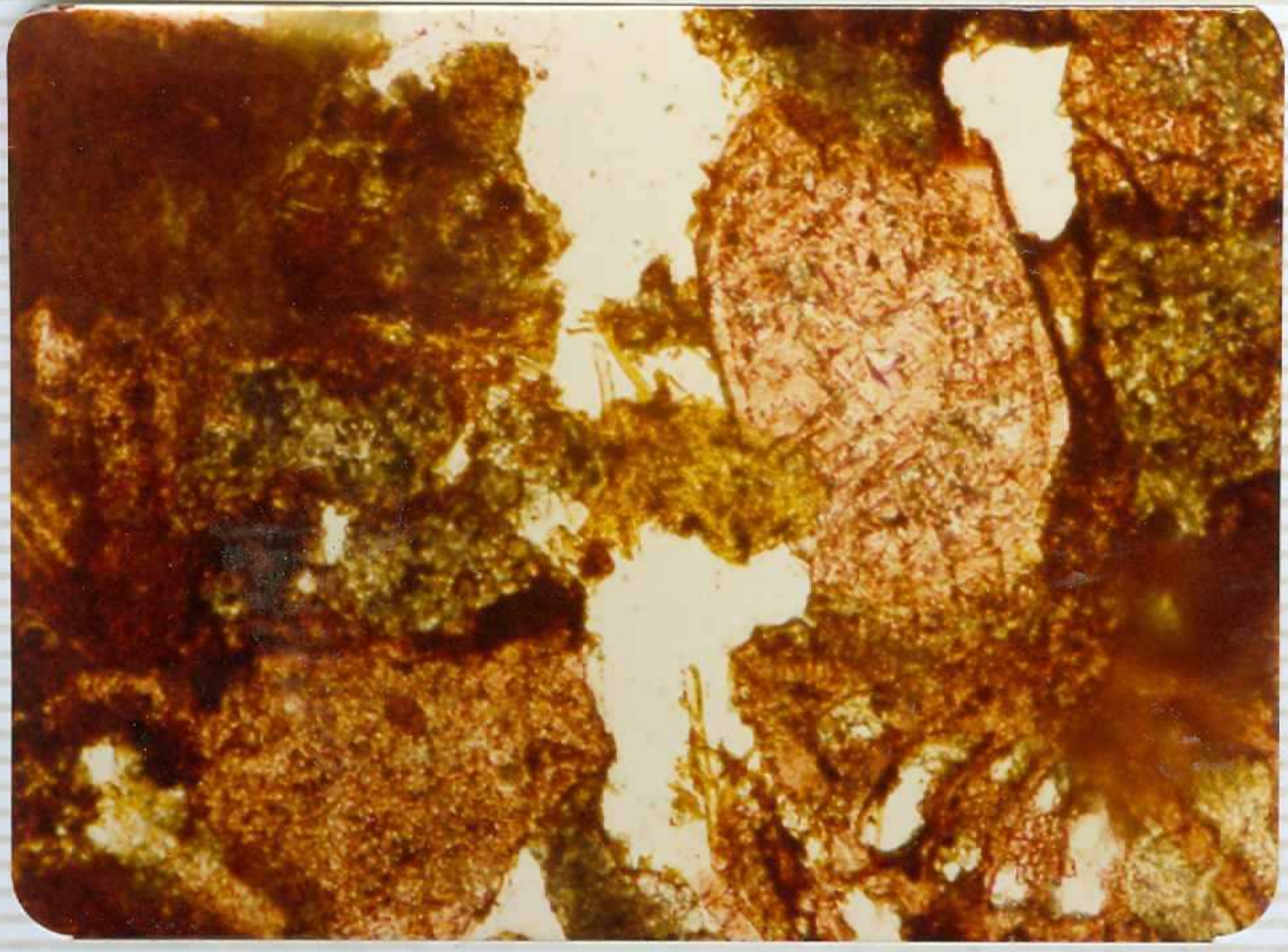


24/43-IB-JG-213.- Bioclasto cuya textura origianl ha sido reemplazada por yeso (todavía se reconocen restos de la textura original) y ha sufrido -- una silicificación parcial. La porosidad inter partícula está ocupada por cemento de yeso.



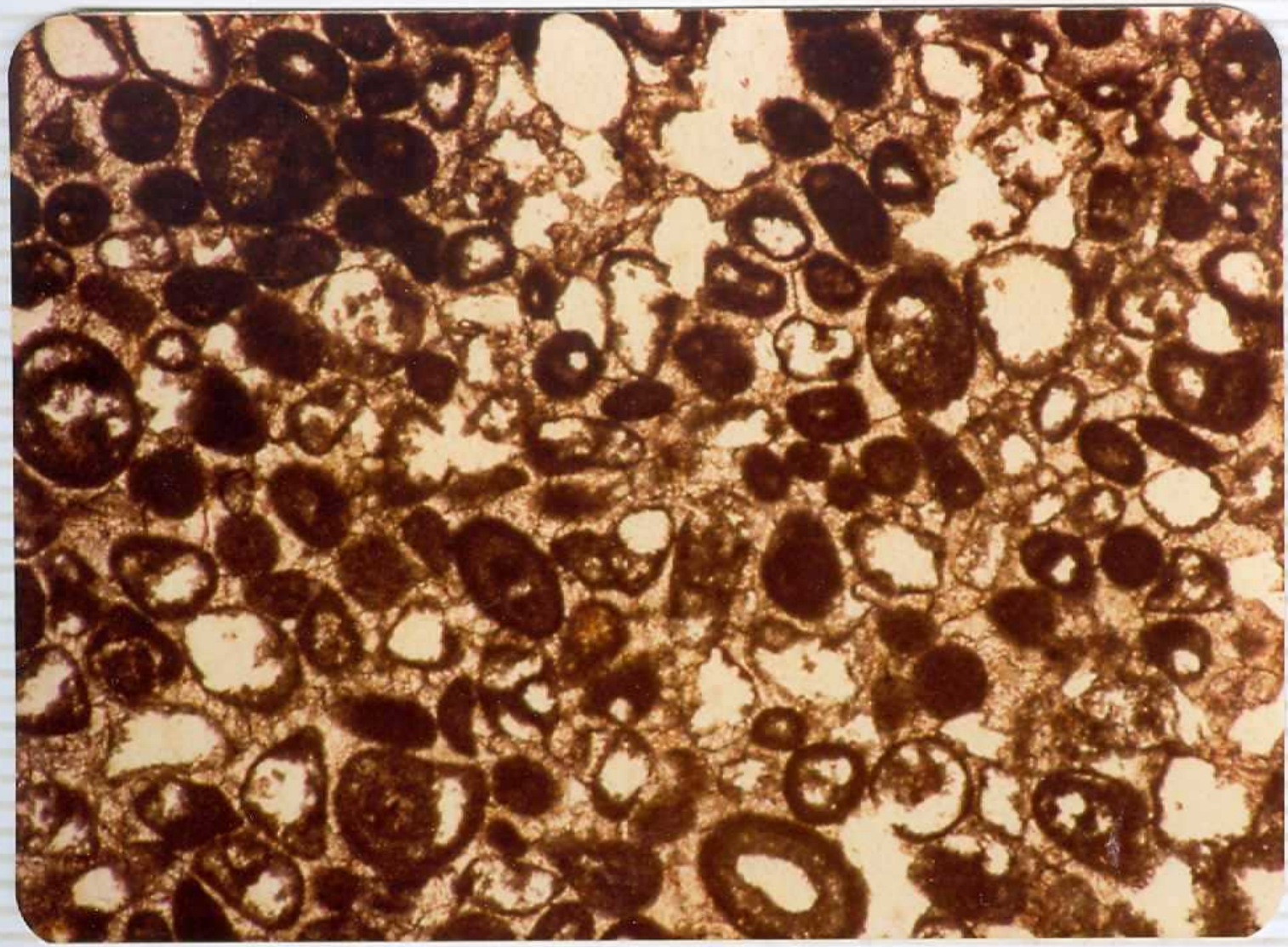


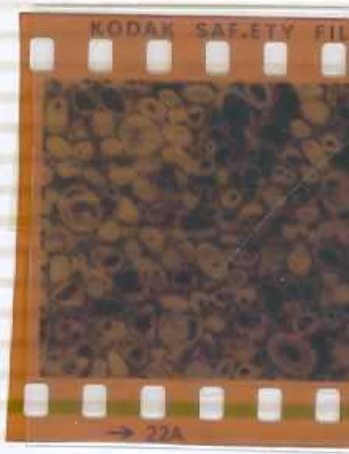
24/43-IB-JG-219.- Calcarenita bioclástica con abundantes fragmentos de equinodermos que presentan sobrecrecimientos sintaxiales de esparita.



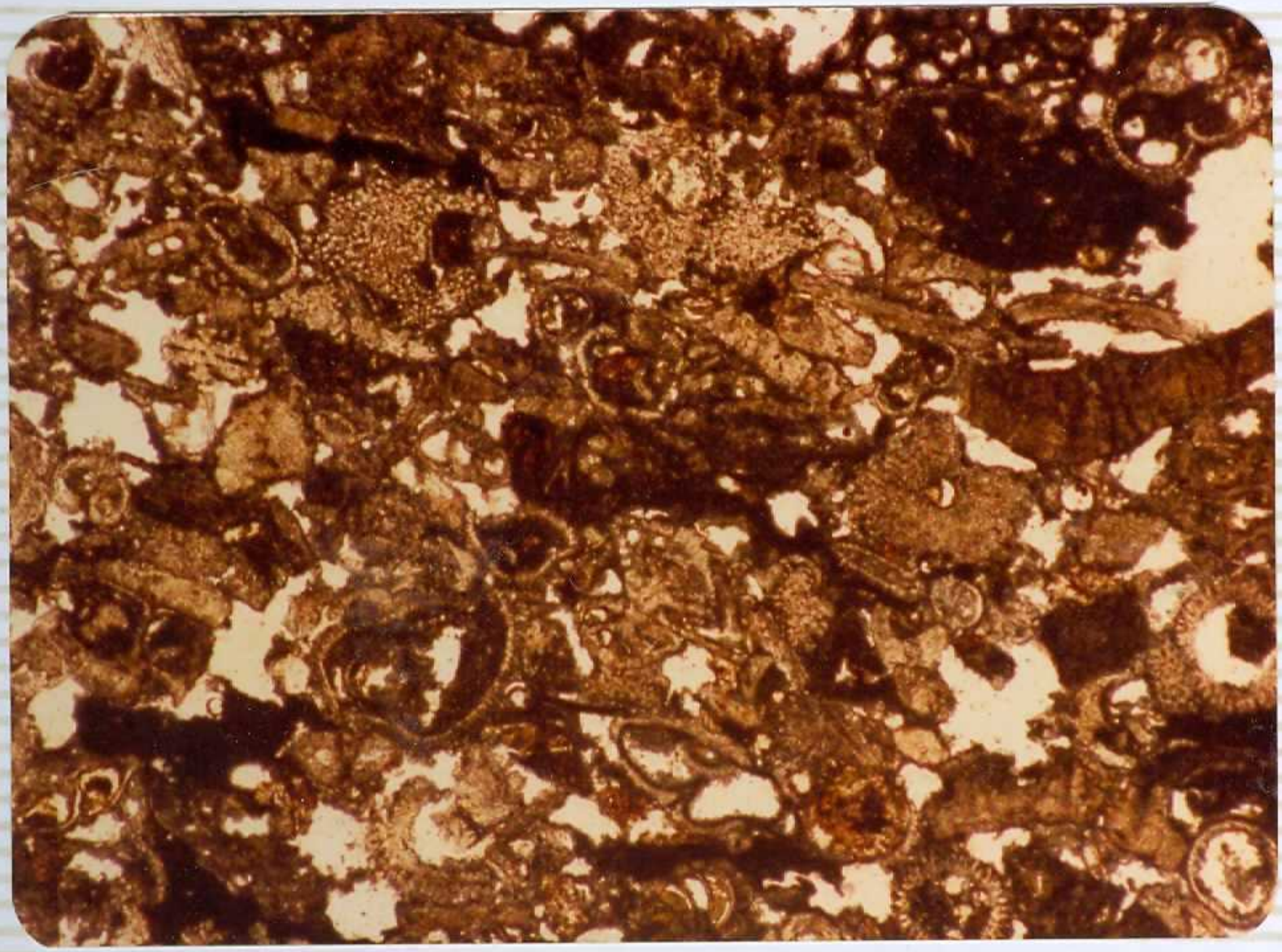


24/43-IB-JG-219.- Cemento whisker de esparita que une diferentes granos.

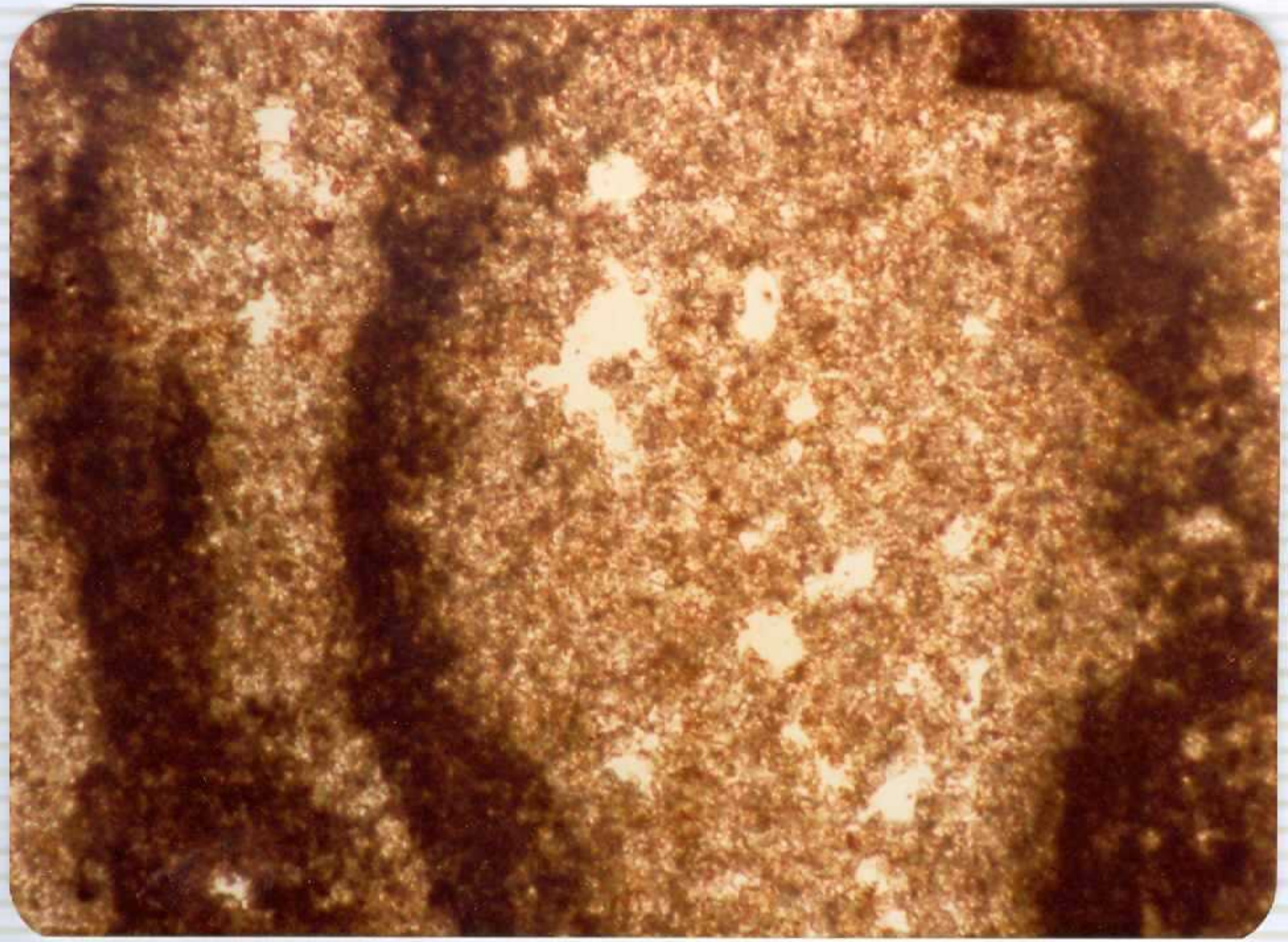




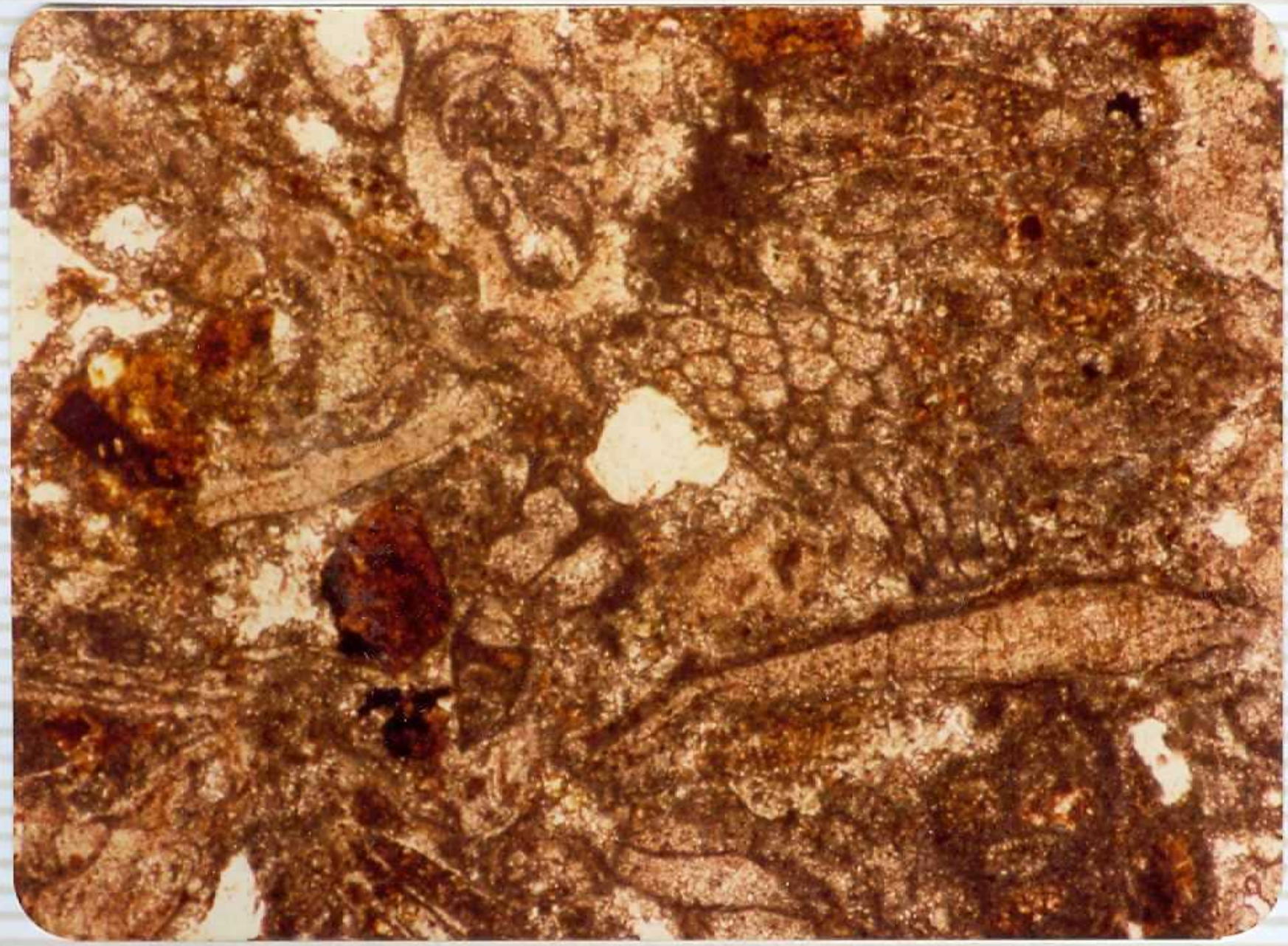
24/43-IB-JG-308.- Grainstone oolítico. Los oolitos están completamente - micritizados. La porosidad interpartícula original está ocupada por ce-- mento de esparita.



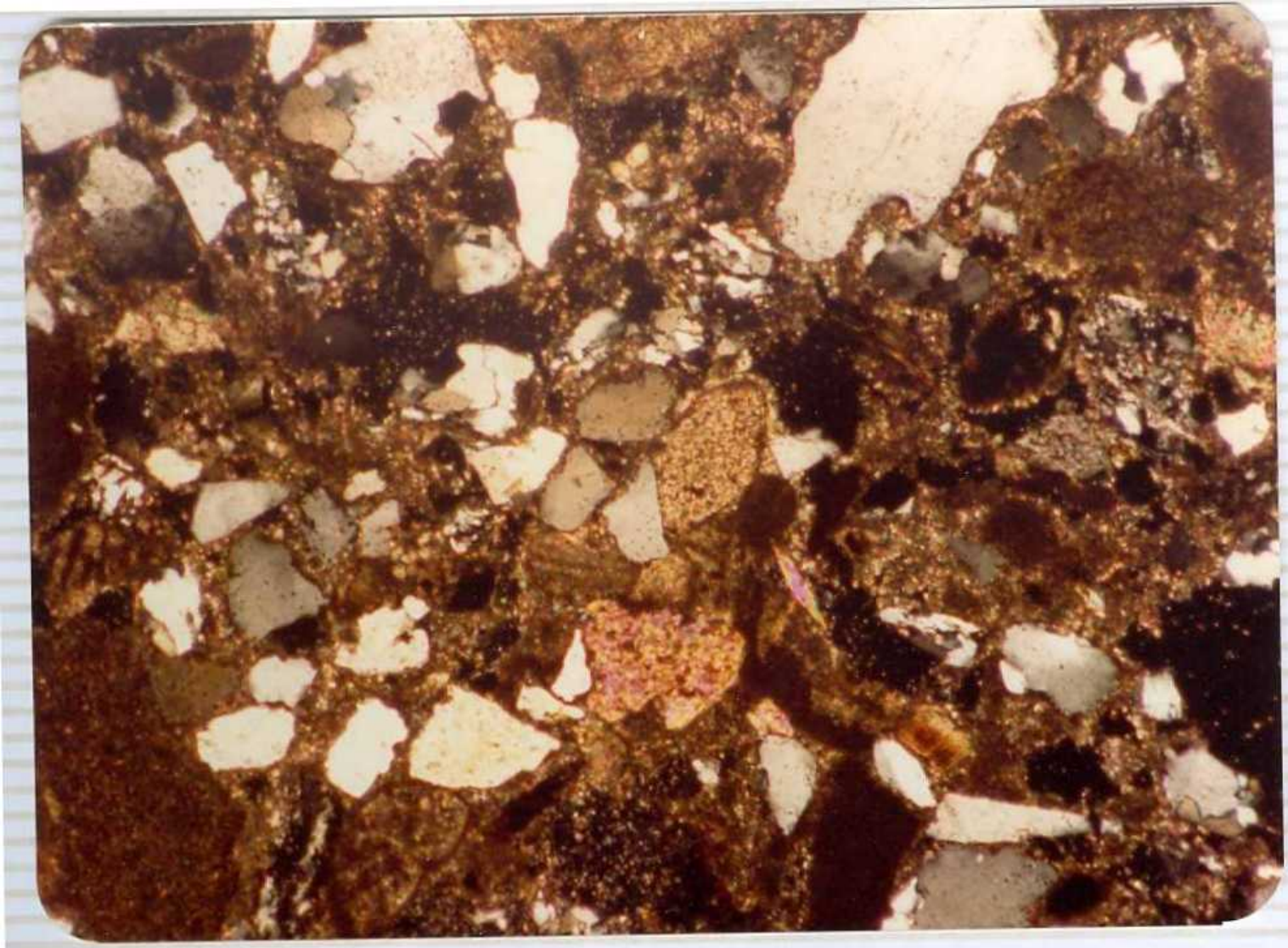
24/43-IB-JG-402.- Grainstones bioclásticos con abundantes foraminíferos pelágicos.



24/43-IB-JG-404.- Alternancia de láminas de dolesparita y dolmicrita correspondientes a un estromatolito.

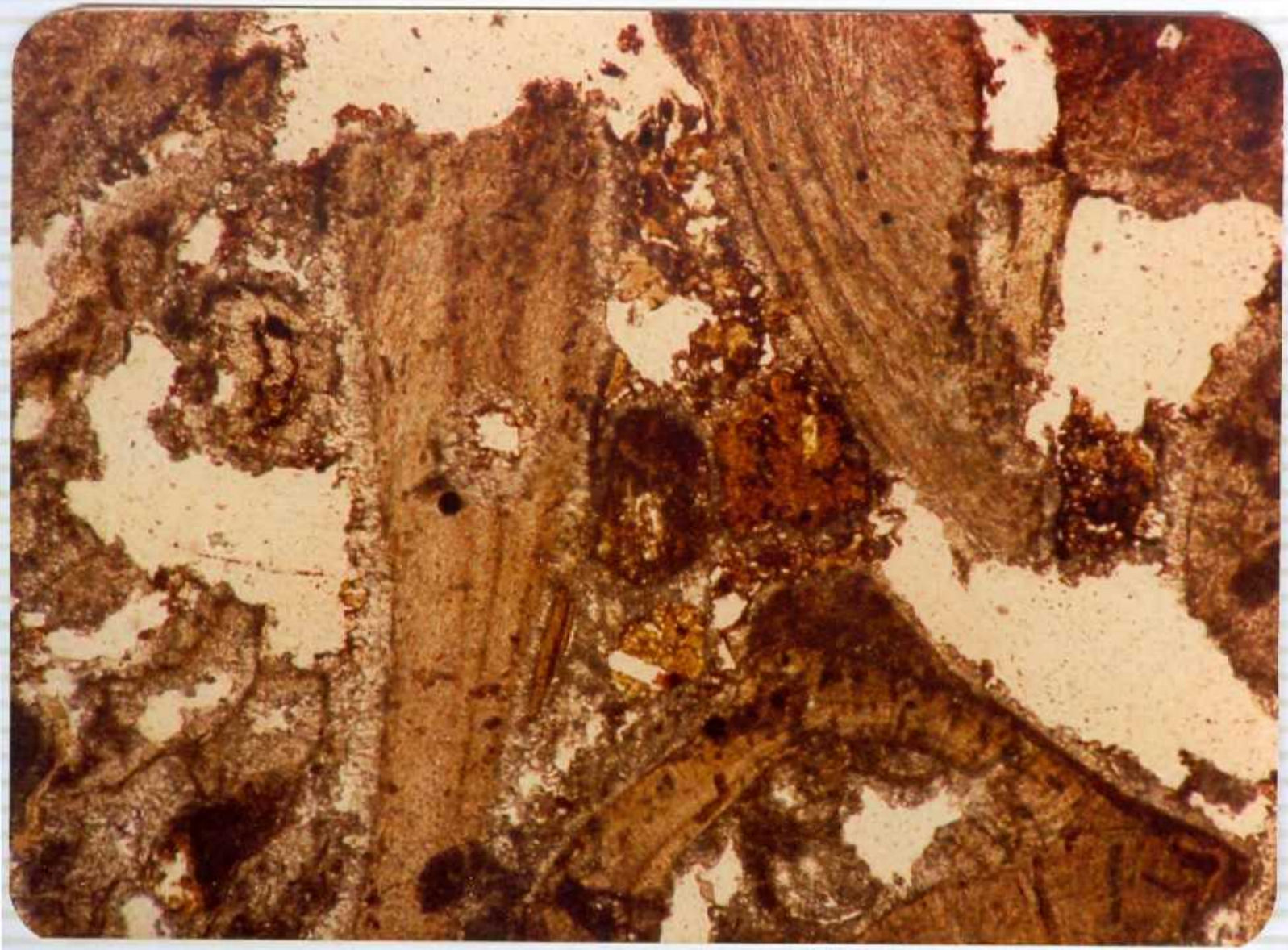


24/43-IB-JG-501.- Grainstone - Packstone de Briozoos y Moluscos.



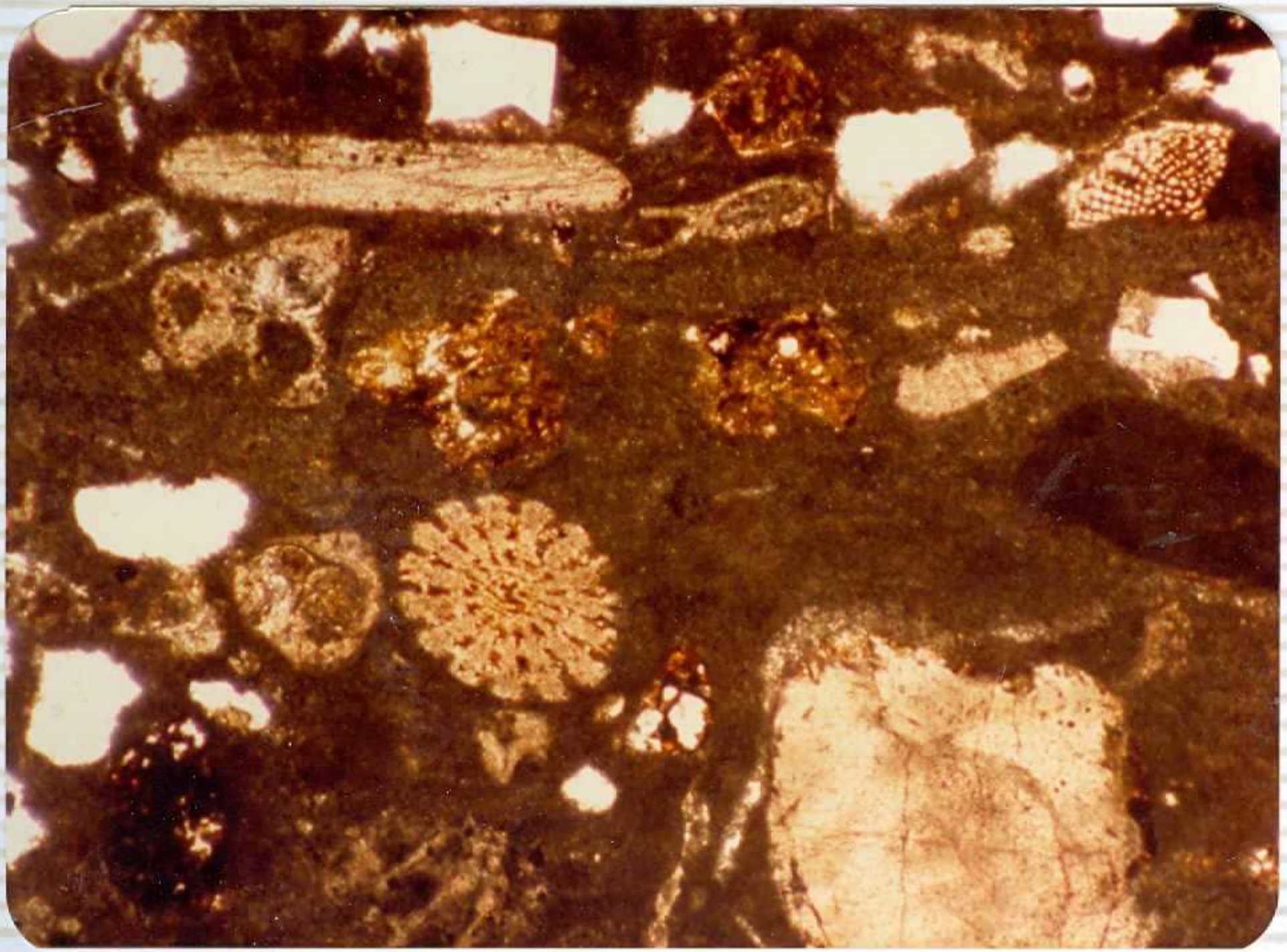


24/43-IB-JG-605.- Calcarenita bioclástica con abundantes fragmentos de roca y granos de cuarzo. Plioceno II.





24/43-IB-JG-705.- Grainstone bioclástico. La porosidad interpartícula - está parcialmente ocupada por cemento de esparita. Cemento tipo rim.

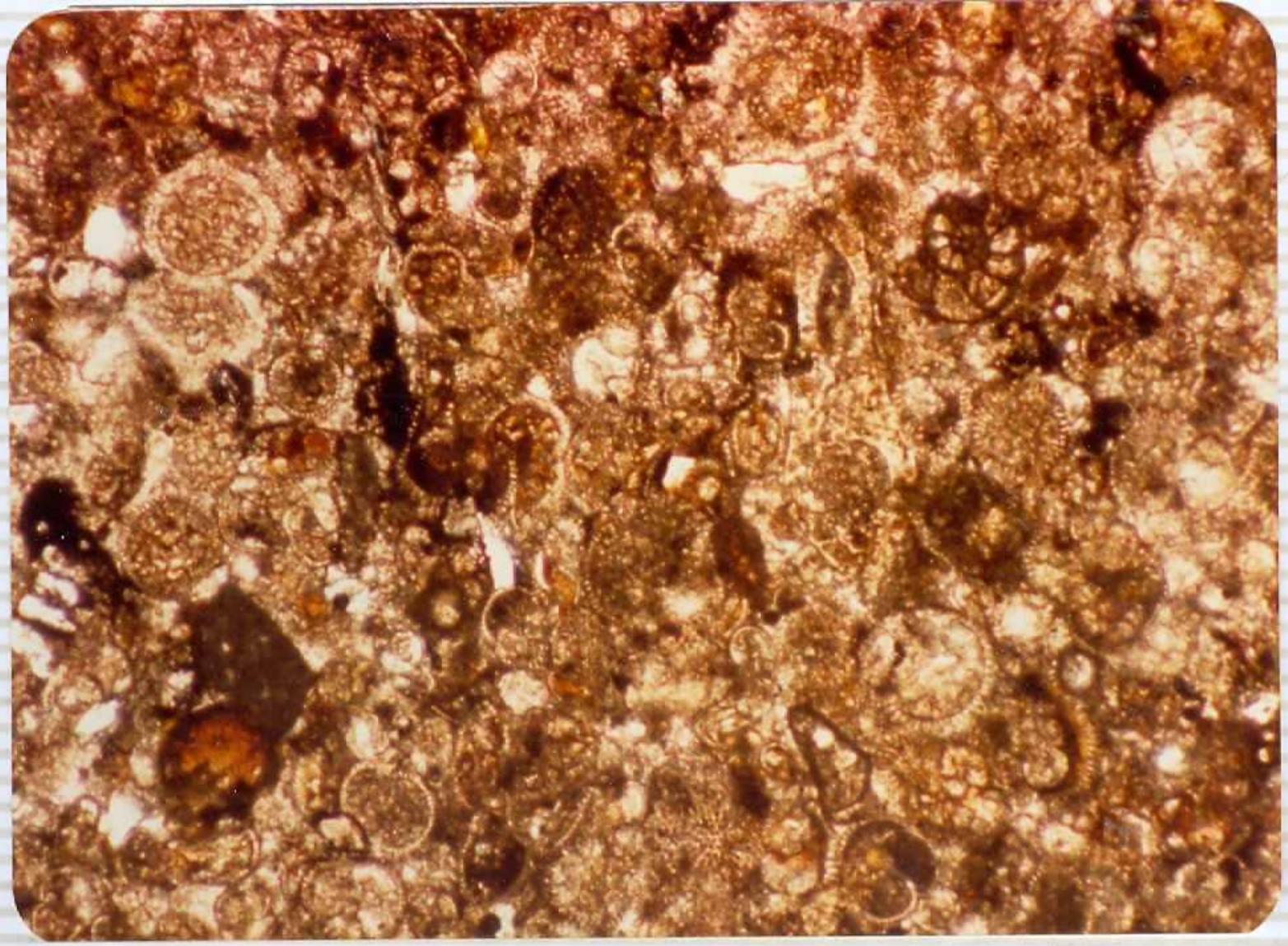


24/43-IB-JG-708.- Wackestone bioclástico.



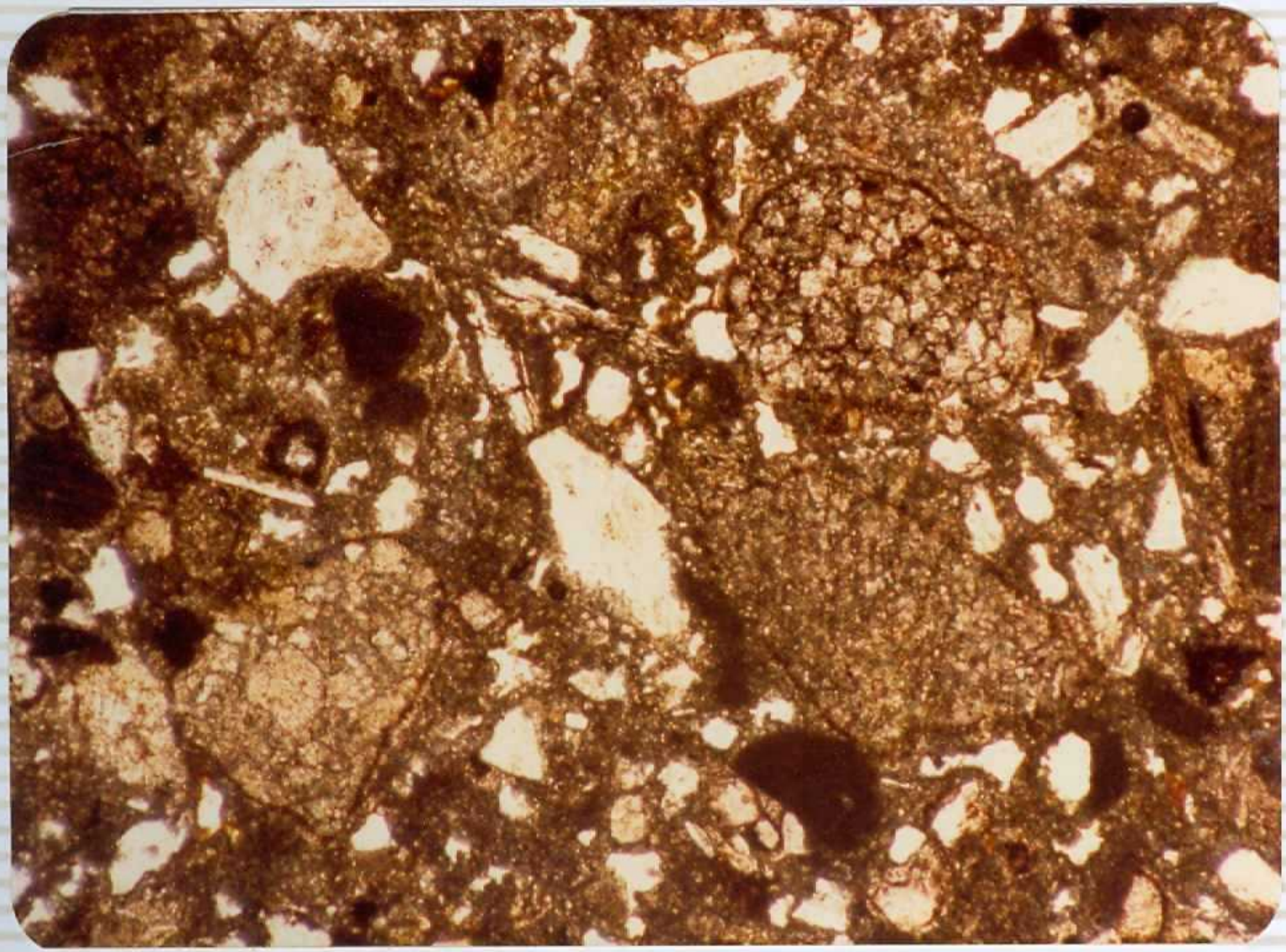


24/43-IB-JG-9003.- Fábrica cristalina constituida por grandes cristales de calcita que han reemplazado la textura deposicional.





24/43-IB-JG-9009.- Grainstone - Packstone de framiniferos planctónicos.

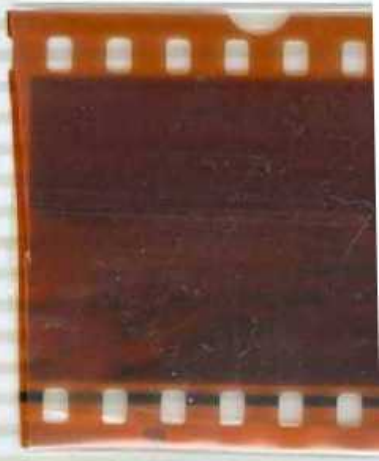


24/43-IB-JG-902.- Microfacies correspondientes al Complejo Terrigeno Marginal. Messiniense. Constituida por granos de Q y litoclástos carbonatados en una matriz micrítica.

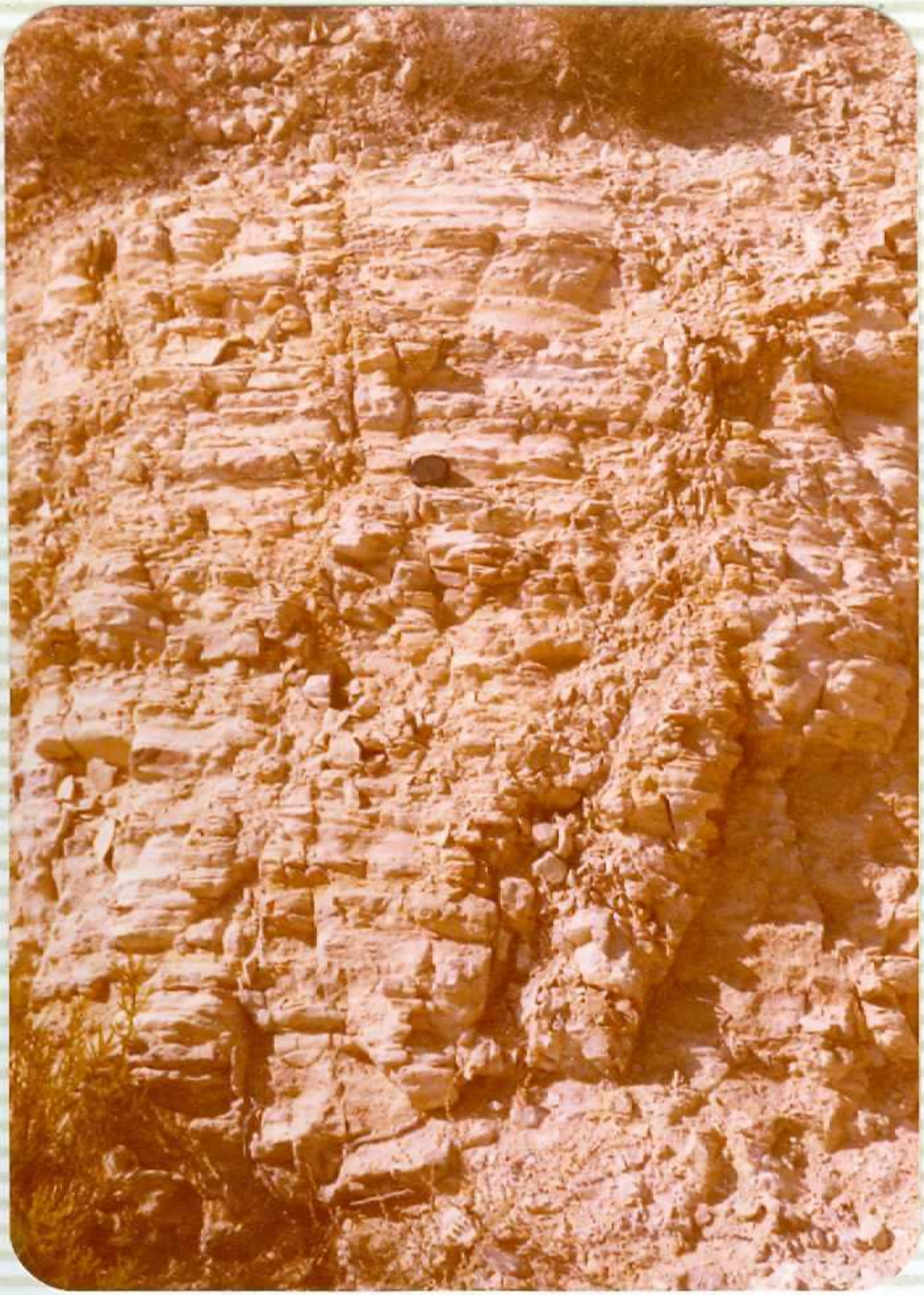


24/43-IB-JG-9201.- Visión de detalle de los conglomerados calcáreos de la base del Neógeno en la carretera de Níjar a Lucainena de las Torres.





24/43-IB-JG-9202,- Vista panorámica de las areniscas y conglomerados del Mb. Azagador en la carretera de Níjar a Lucainena de las Torres. La inclinación de las capas es original.



24/ 43-IB-JG-9203.- Alternancia de margas y silexitas. Níjar.



24/43-IB-JG-9204.- Visión general de las calcarenitas bioclásticas y volcanoarenitas del Mb. Azagador en la cuenca de Aguamarga, en contacto con el basamento volcánico. Camino de Aguamarga a El Plomo.





24/43-IB-JG-9205.- Detalle de las estratificaciones cruzadas presentes en el Mb. Azagador. Misma localidad que la fotografía anterior.





24/43-IB-JG-9206.- Vista panorámica de la rellana de San Pedro. Los niveles superiores que dan un resalte morfológico corresponden a los arrecifes que progradan sobre las facies de talud.





24/43-IB-JG- 9207.- Detalle de una colina de Porites, coral casi exclusivo en la pared de los arrecifes. Mesa Roldán.



24/43-IB-JG-9208.- Complejo Terminal (horizontal) discordante sobre las facies de talud proximal. Mesa Roldán.



24/43-IB-JG-9209,- Mesa Roldán. Facies de talud y Complejo Terminal. De los tres resaltes que se observan en la fotografía, el superior corresponde a las calizas oolíticas del C.T. que se adosan a las calcarenitas de talud. Contacto discordante.

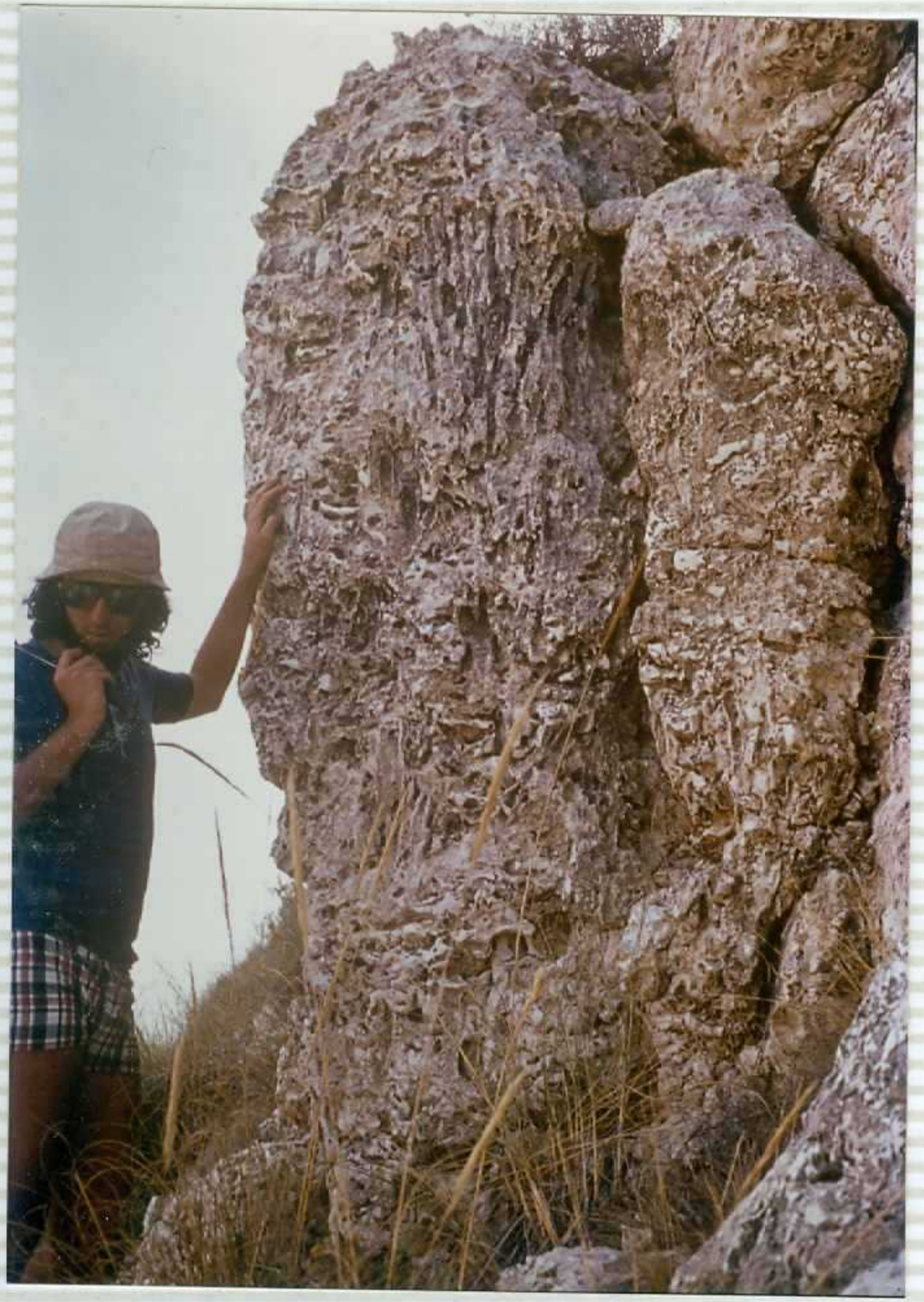


24/43-IB-JG-9210 .- La Molata vista desde La Molatilla. Facies de Talud: la masa calcárea de la izquierda corresponde a un bloque deslizado procedente de la pared arrecifal. Los niveles superiores corresponden al complejo Terminal discordante.





24/43-IB-JG-9211 .- La Molata desde la Molatilla. Progradación de lóbulos arrecifales sobre las facies de talud y cuenca.





24/43-IB-JG-9212 .- Cerro del Cuervo. Colonia de Tarballastrea creciendo in situ en el talud arrecifal.





24/43-IB-JG-9213.- Base del Faro de Mesa Roldán. Conglomerado volcánico de matriz calcárea en el contacto entre las facies de talud y el basamento volcánico.



24/43-IB-PV-9214 .- El Playazo. Onlap deposicional de las calizas calcareníticas y calcisiltitas de talud sobre el basamento volcánico.





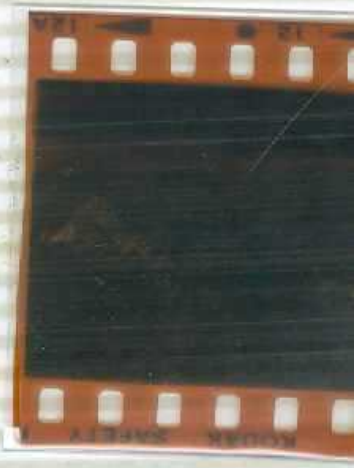
24/43-IB-JG-9215.- Cerro de los Lobos. Aspecto general de las calcarenitas bioclásticas de talud arrecifal con inclinación original hacia el fondo de la cuenca. En último término el Complejo Terminal discordante sobre las facies de talud.





24/43-IB-JG-9216 .- Cerro de Los Lobos. Visión de detalle de las calizas oolíticas con estratificación cruzada del Complejo Terminal.





24/43-IB-JG-9217 .- Níjar. Canales de desague del arrecife, desarrollados en el frente arrecifal. Morfología original. Estos canales son semejantes a los "spur and grooves" actuales.





24/43-IB-JG-9218 .- Detalle de las margas y calcisiltitas biturbadas correspondientes a las facies de cuenca (Mb. Abad) equivalente lateral de los arrecifes.



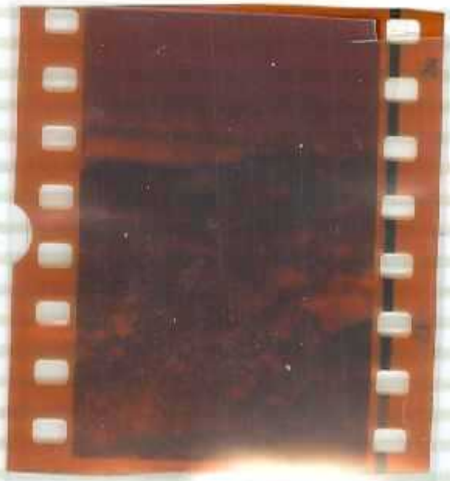


24/43-IB-JG-9219 ,- Bloque de Porites deslizado y redepositado entre las facies de cuenca (Mb. Abad). Camino de Aguamarga a Fernán Pérez.



24/43-IB-JG-9220 .- Aguamarga. Calcarenitas y calcisiltitas blancas con estratificación cruzada a gran escala y tramos slumpizados.





24/43-IB-JG-9221 .- Contacto entre la brecha calcárea del Messiniense terminal y las facies de limos y arenas verdes del Plioceno. Contacto discordante. Trinchera ferrocarril abandonado. Aguamarga.





24/43-IB-JG-9222 .- Detalle de la anterior, observese como el techo de las brechas está constituído por una superficie endurecida e intensamente perforada.





24/43-IB-JG-9223.- Aspecto general de la brecha calcárea. Messiniense.



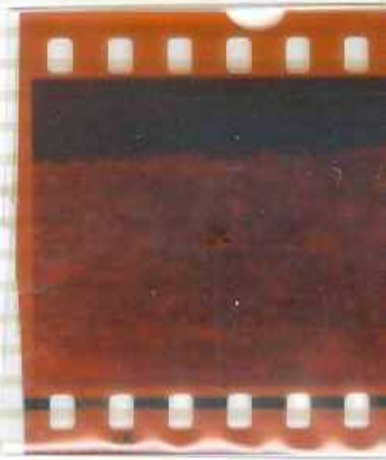
24/43-IB-JG-9224 .- Alternancia de margas blancas silexitas negras en la base de la serie de Cerro Blanco, y en contacto discordante directamente sobre el basamento volcánico.



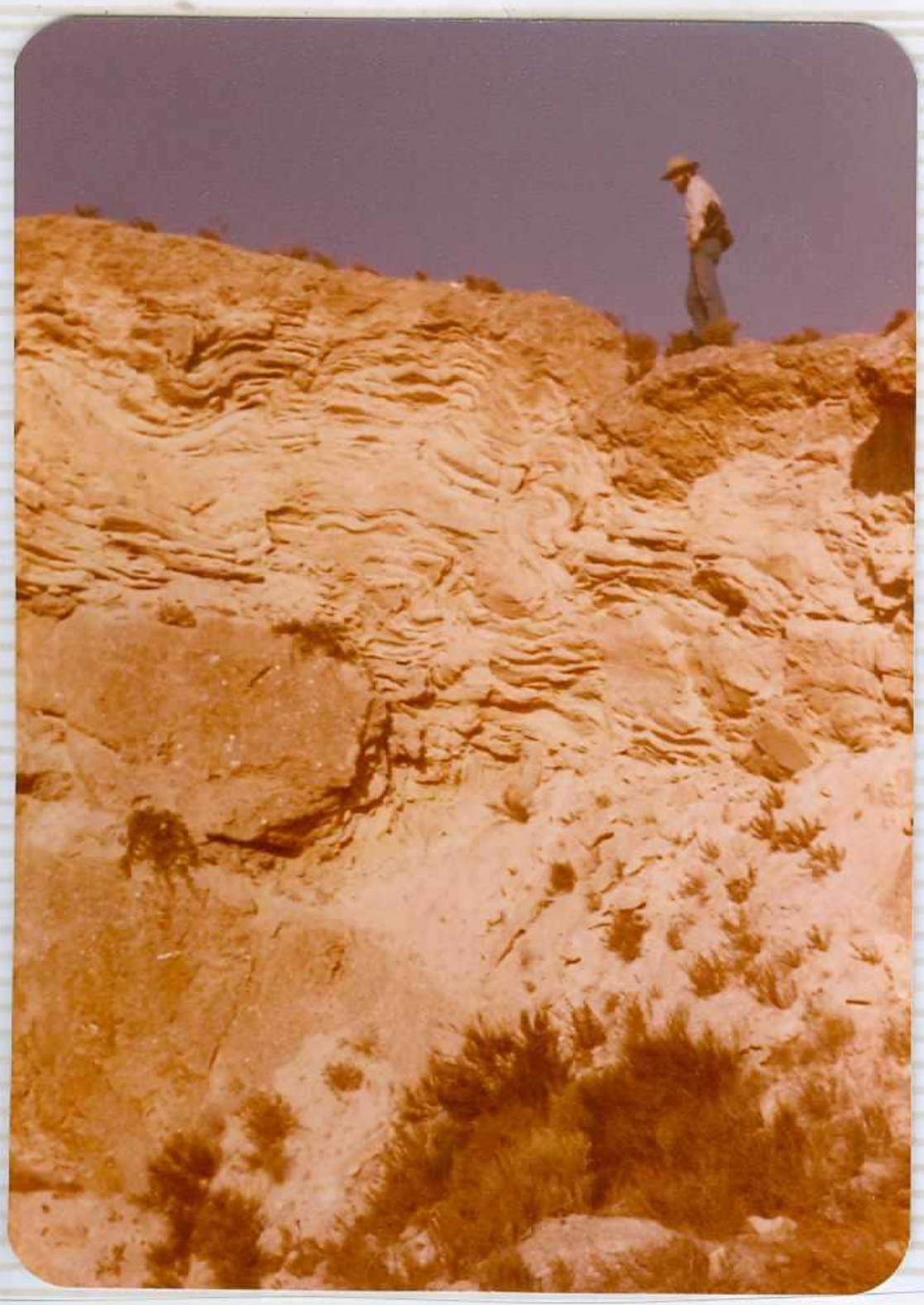


24/43-IB-JG-9225 .- Conglomerado caótico con fragmentos de yeso detrítico intercalados entre las turbiditas carbonatadas del Mb. Yesares. Cerro Blanco.



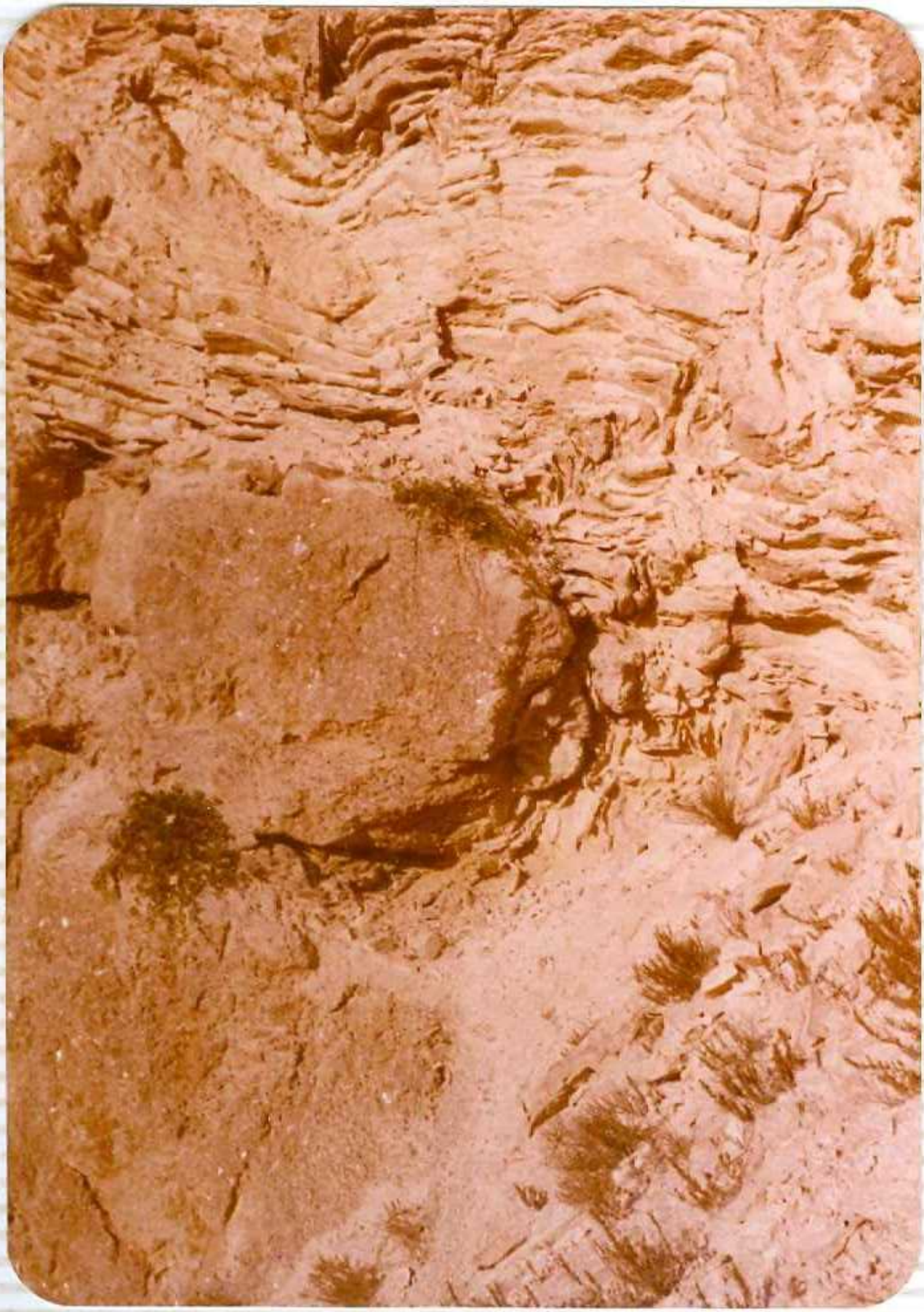


24/43-IB-JG-9226 .- Bloque de coral (Porites) intercalado en la serie turbidítica del Messiniense terminal de Cerro Blanco.





24/43-IB-JG-9227 .- Yeso masivo selenítico (parte inferior) y estratificado (superior). El teso en capas corresponde a turbidiras de yeso. Mb. Yesares. Cerro Blanco.



24/43-IB-JG-9228 .- Detalle de la anterior.



24/43-IB-JG-9229 .- Yeso masivo "rodeado" por margas yesíferas, posiblemente debido a la existencia de un karst a techo del yeso masivo.





24/43-IB-JG-9230 .- Plioceno calcáreo discordante sobre las margas y calcisiltitas del Messiniense. Obsérvense las estructuras de progradación en el Plioceno. Carboneras.





24/43-IB-JG-9231 .- Detalle del contacto entre el Mioceno y el Plioceno. El conglomerado volcánico es muy constante regionalmente y separa las -- clacarenitas pliocenas de las margas messinienses.





24/43-IB-JG-9232 .- Detalle de las calcarenitas del Plioceno. Carboneras.



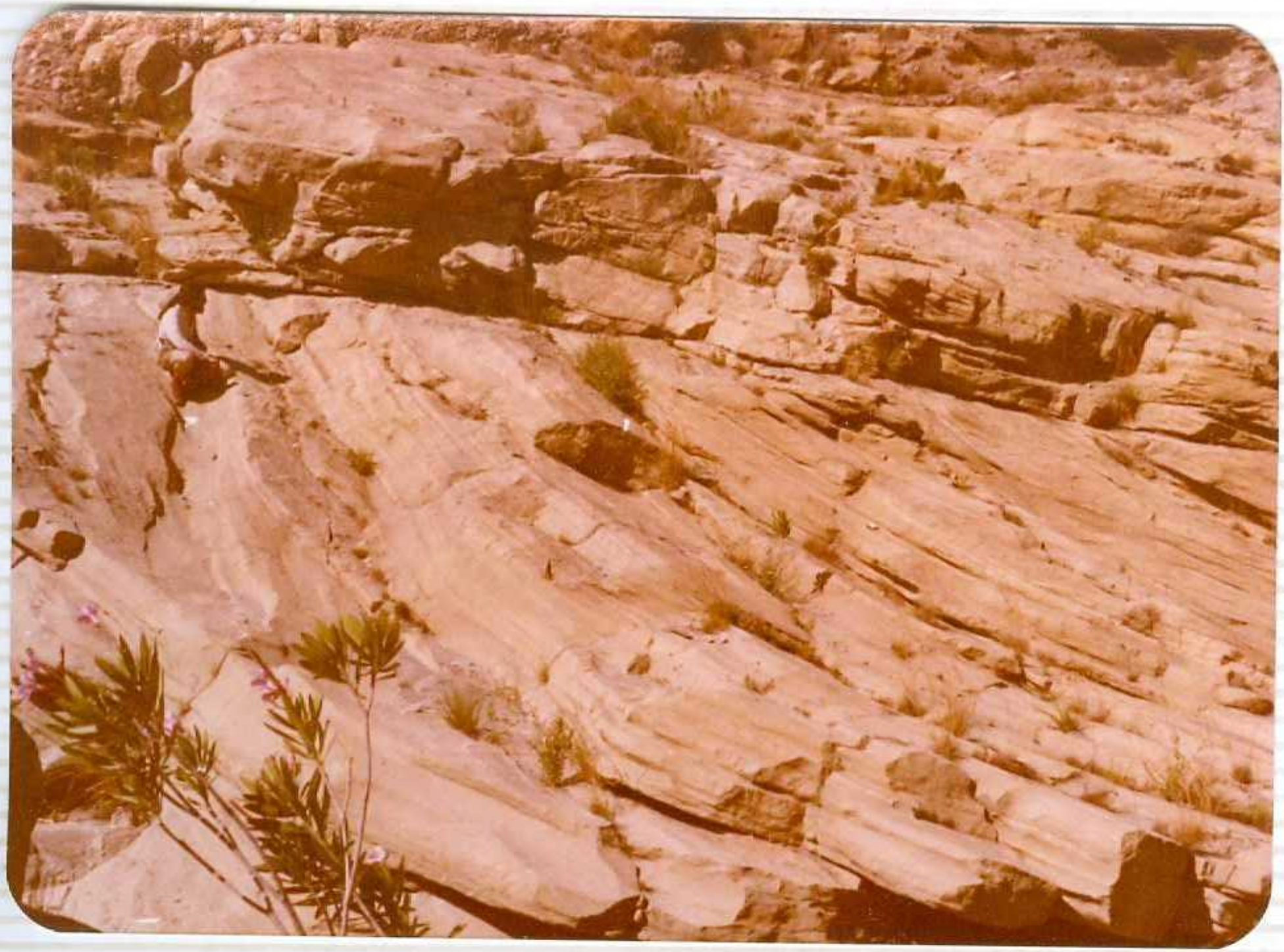


24/43-IB-JG-9233 .- Discordancia angular plegada entre el Messiniense y el Plioceno. Molino de Juan Ramos. El Argamasón.





24/43-IB-JG-9234 .- Grandes estratificaciones cruzadas en surco en la Base del Plioceno. Molino de Juan Ramos. El Argamasón.



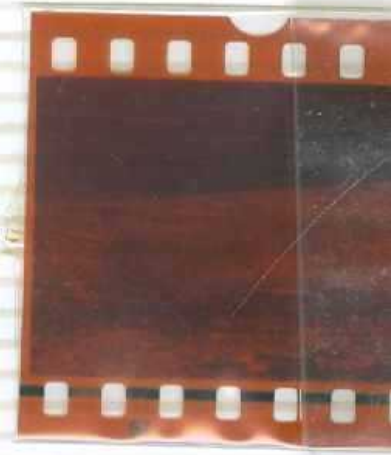
24/43-IB-JG-9235 .- Detalle de la anterior fotografía.





24/43-IB-JG-9236 .- Megaestratificación cruzada originada por progradación en los conglomerados cuarzosos del Plioceno. El Argamasón.





24/43-IB-JG-9237.- Estratificación cruzada a gran escala ligada a la propagación de grandes megarriples. Unidad de limos y arenas verdes del Plioceno Superior.



24/43-IB-PV-9600.- Materiales Nevado-Filábrides (predominantemente micas-quistos y cuarcitas).NO. de la Hoja.



24/43-IB-PV-9601.- Cuarcitas y micasquistos grafíticos Nevado-Filábrides. Las cuarcitas muestran una charnela probablemente de segunda fase de deformación. NO. de la Hoja.



24/43-IB-PV-9602.- Ortogneis albítico-turmalínico que presenta una marcada lineación. Nevado-Filábride del NO. de la Hoja.



24/43-IB-PV-9603.- Micasquistos grafíticos. Paleozoico Alpujárride del NO de la Hoja.



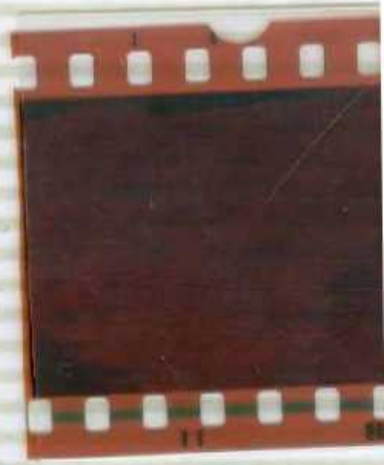
24/43-IB-PV-9604.- Micasquistos grafíticos .Paleozoico Alpujárride del NO de la Hoja.





24/43-IB-PV-9605.- Filitas y cuarcitas. Permotrías Alpujárride del NO. de la Hoja.





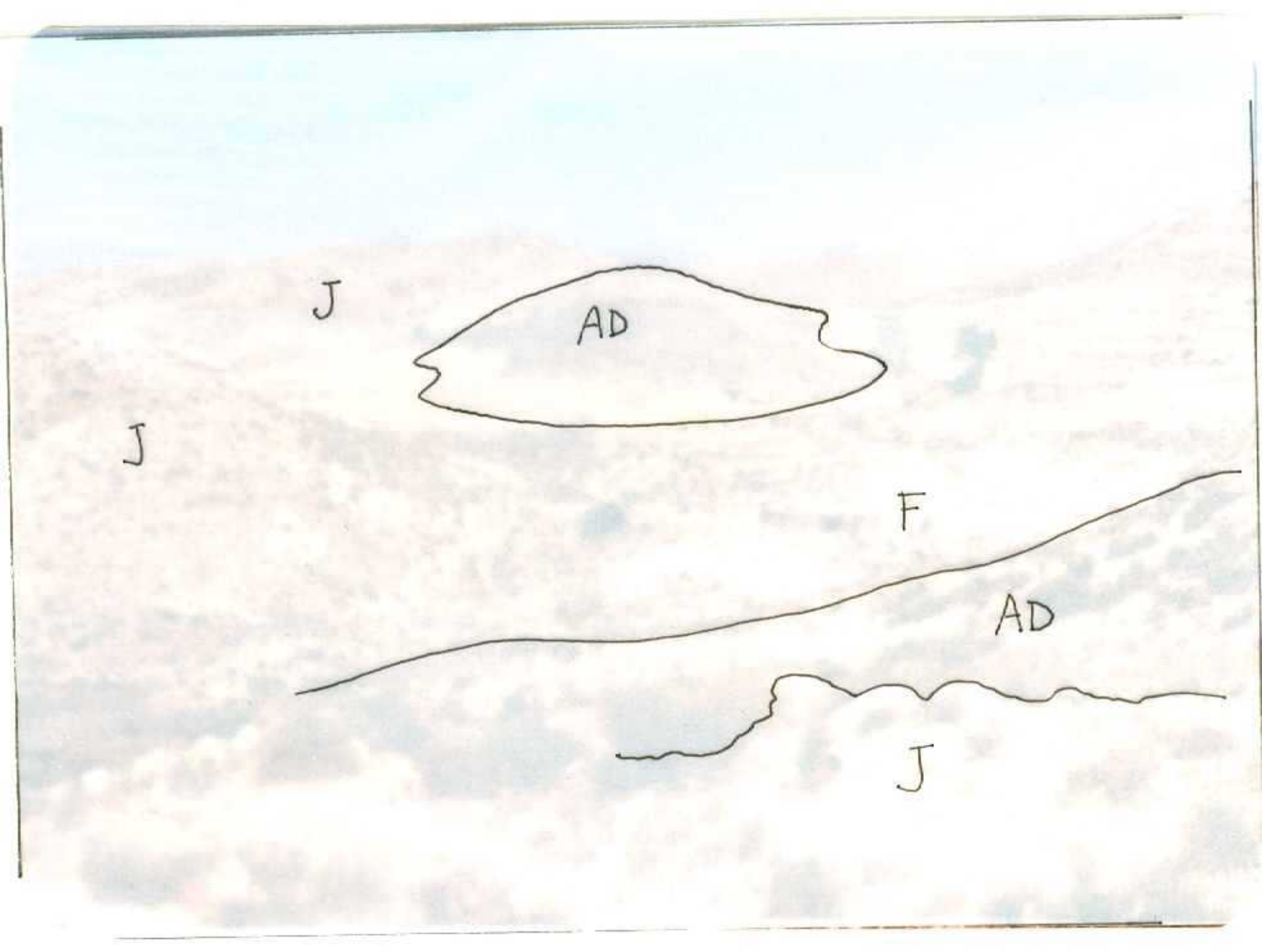
24/43-IB-PV-9606.- Dolomías alternando con calcoesquistos. Trías medio-superior. Alpujárride del NO. de la Hoja.



24/43-IB-PV-9607.- Formación de arcillas y lutitas rojas y cuarcitas. Permotrias Maláquide de la terminación norte de la Serrata (centro de la Hoja).

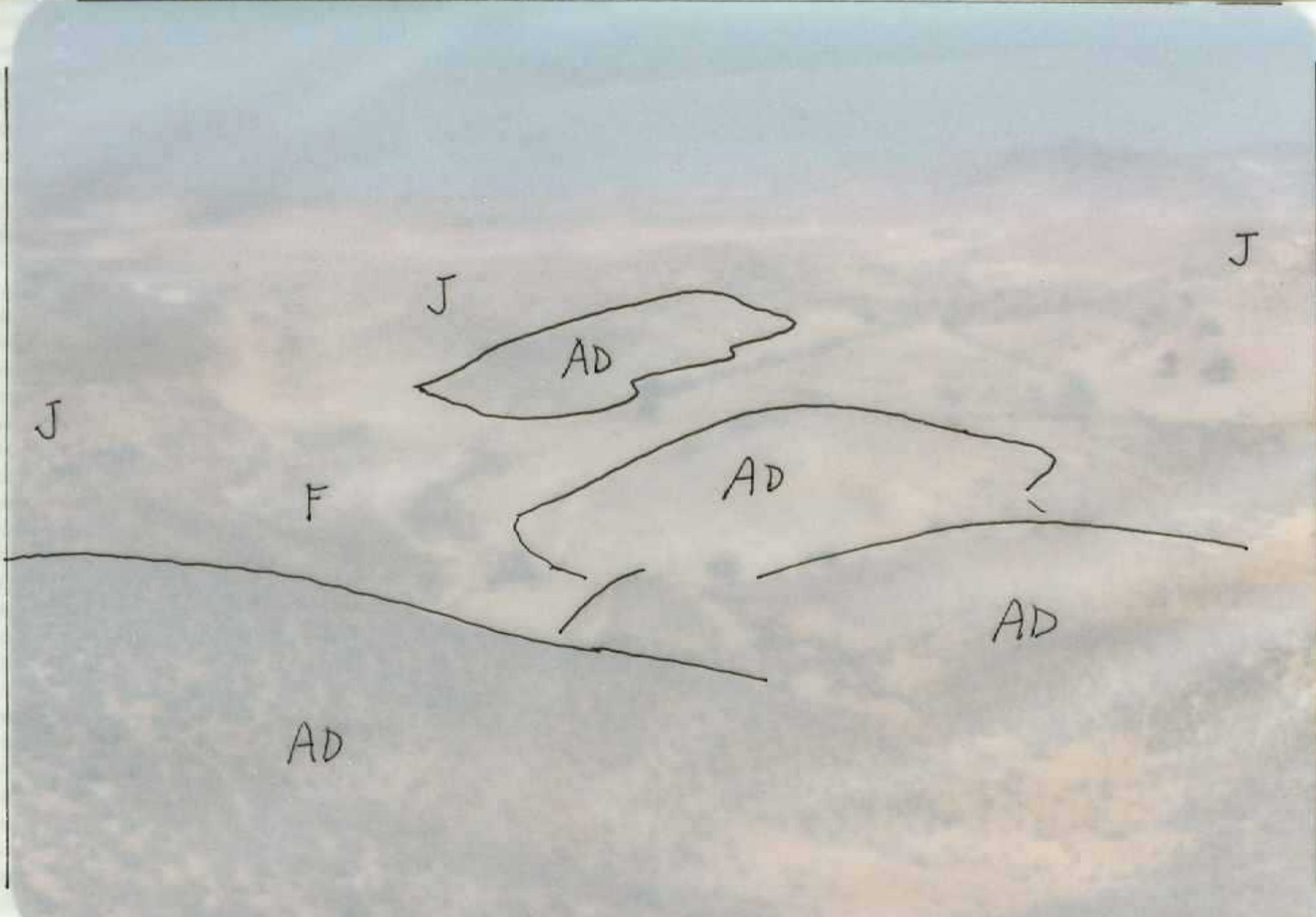


24/43-IB-PV-9608.- Terminación norte de la Serrata (centro de la Hoja). Materiales andesíticos neógenos (AD) discordantes sobre materiales béticos (J: Jurásico Maláquide; F: Filitas Alpujárrides).

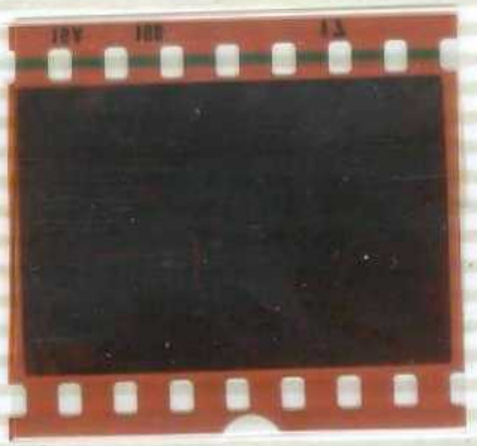

J
AD
J
F
AD
J



24/43-IB-PV-9609.- Terminación norte de la Serrata (centro de la Hoja). Materiales andesíticos neógenos (AD) discordantes sobre materiales béticos (J: Jurásico Maláquide, F: Filitas Alpujárrides).


J
J
AD
J
J
AD
F
AD
AD





24/43-IB-PV-9610.- Conglomerados y brechas piroclásticas de andesita anfibólica en matriz roja desvitrificada y alterada. -- Terminación norte de la Serrata (centro de la Hoja).



24/43-IB-PV-9611.- Tobas anfibólicas (dacitico-andesíticas)tipo ash-flow. Zona de Agua Amarga (NE de la Hoja).



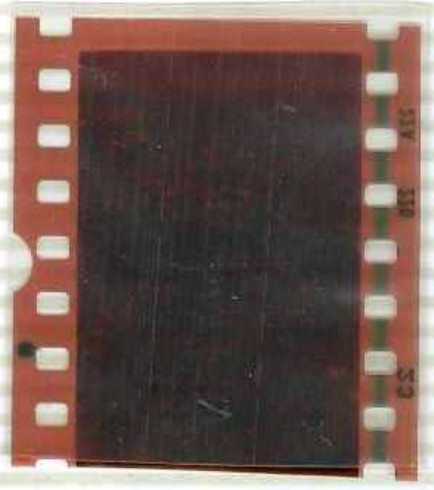


24/43-IB-PV-9612.- Conglomerados volcánicos y brechas piroclásticas de dacita anfibólica. Area de Carboneras (NE de la Hoja).



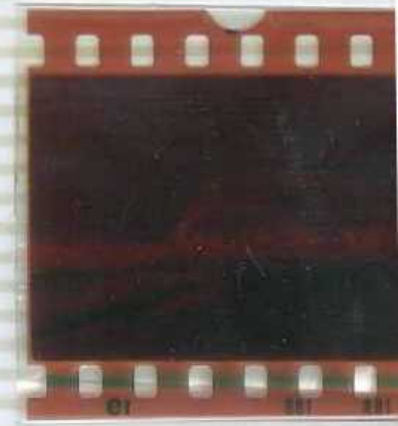
24/43-IB-PV-9613.- Tobas poligénicas con su característica erosión. Area de las Hortichuelas (S. de la Hoja).





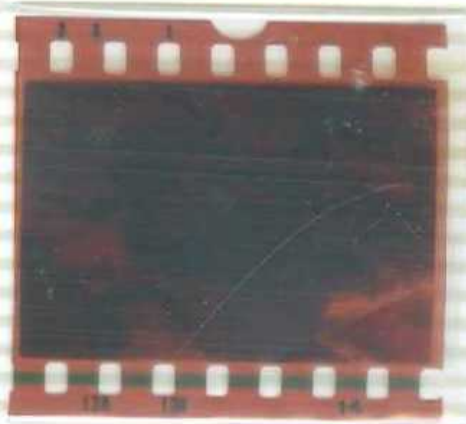
24/43-IB-PV-9614.- Brechas piroclásticas poligénicos. Area de las Hortichuelas (S. de la Hoja).





24/43-IB-PV-9615.- Brechas piroclásticas de andesita piroxénica (centro de la fotografia.). Las Negras (Sur de la Hoja).





24/43-IB-PV-9616.- Brechas piroclásticas de andesita piroxénica englobando numerosos fragmentos métricos de margas fosilíferas miocenas con frecuentes estructuras de sloompings. Afloramiento interpretado como resultado de irrupción de material volcánico en un área nerítica e incorporación subsiguiente de sedimentos semiconsolidados, en su avance. Cala del Carnaje (S. del Cerro de los Lobos, S. de la Hoja).





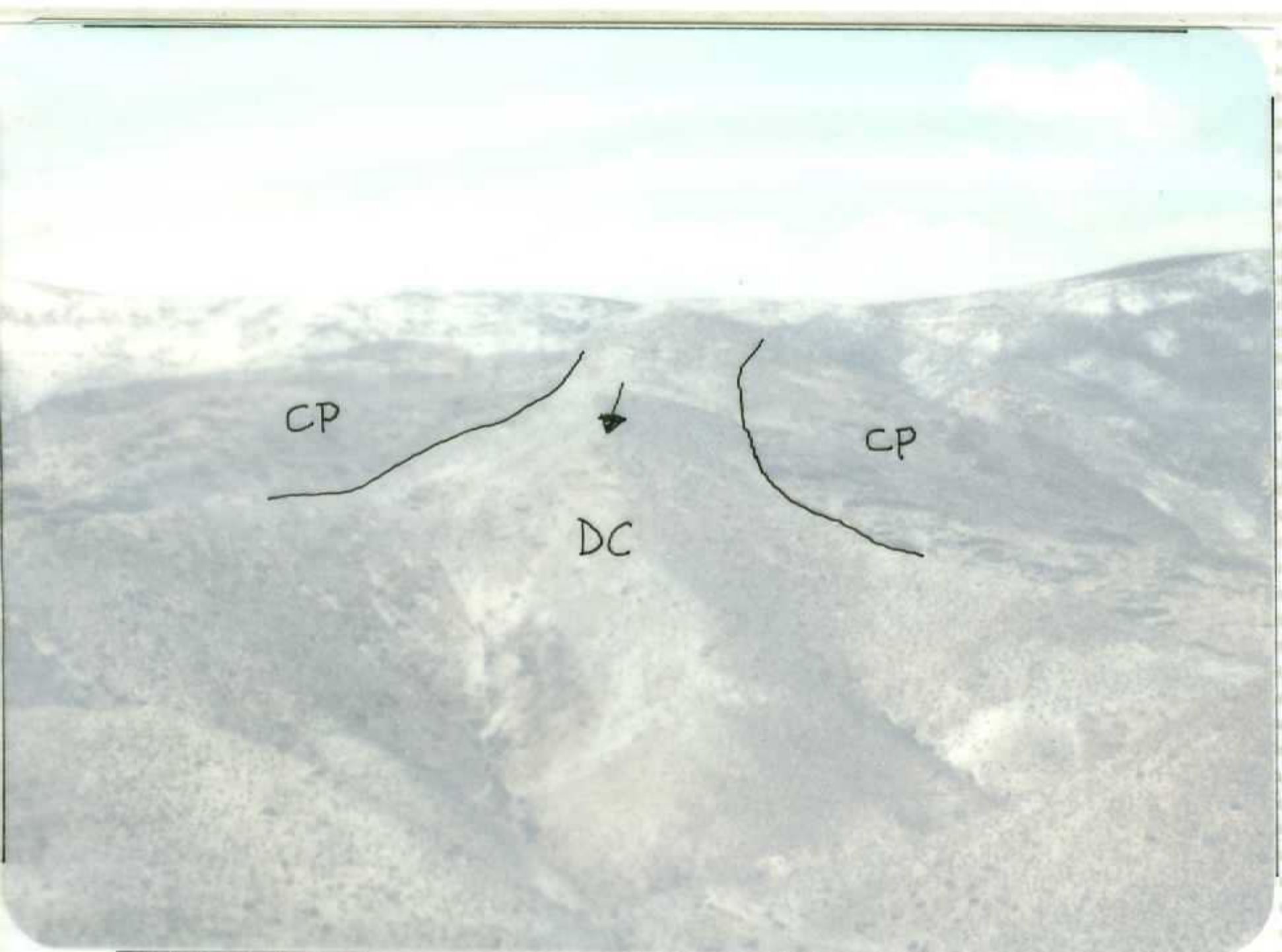
24/43-IB-PV-9617.- Brechas piroclásticas de andesita piroxenica sobre margas fosilíferas miocenas (intercalación en la serie volcánica. Los pronunciados contactos erosivos a la base de los primeros - testimonian su irrupción sobre los sedimentos micenos semiconsolidados. Cala del Carnaje (S. del Cerro de los Lobos, S. de la Hoja).



24/43-IB-PV-9618.- Pitones de andesitas piroxénicas columnares explotadas en cantera. Mesa de Roldán (Carboneras, NE de la Hoja).

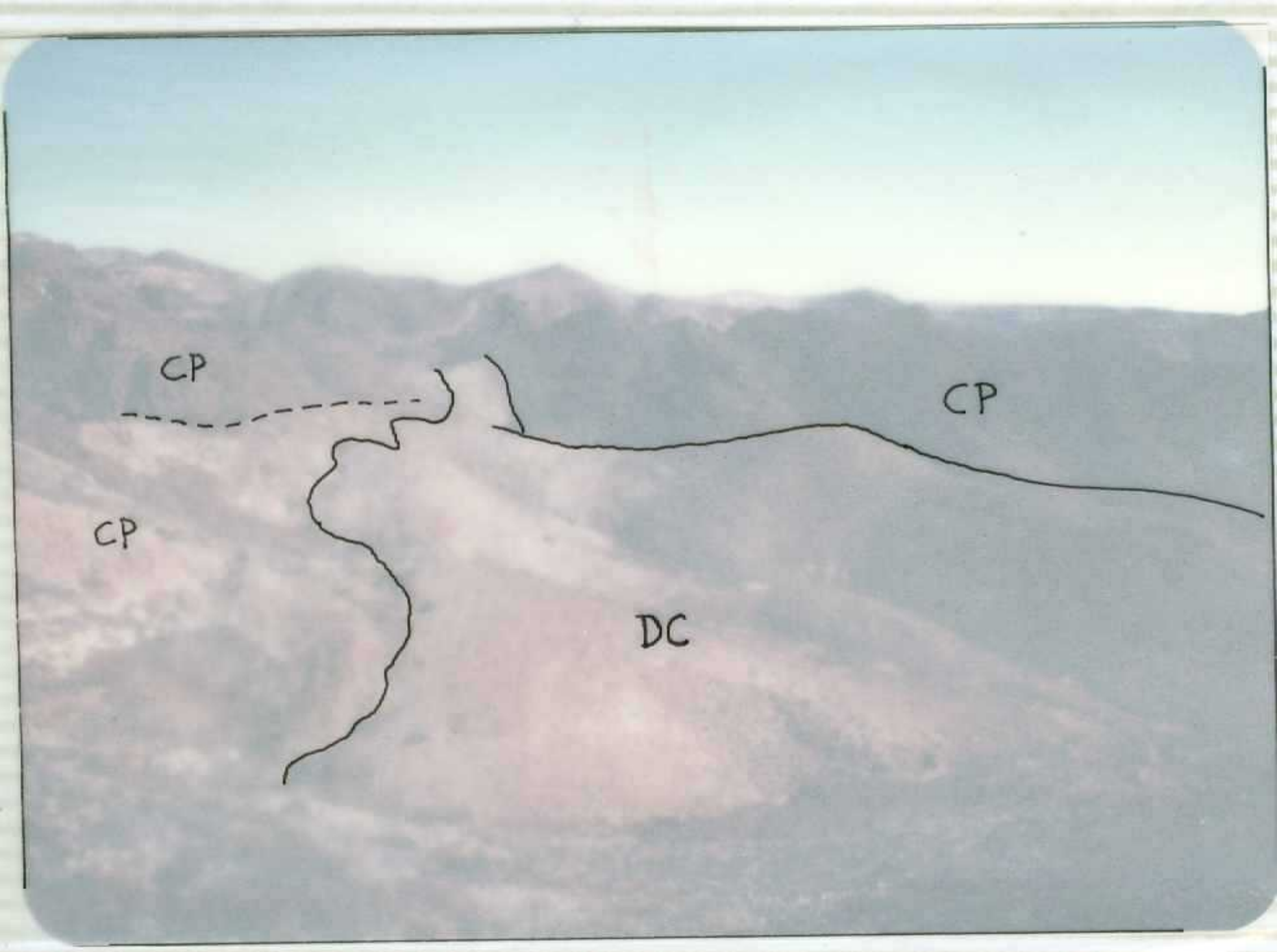


24/43-IB-PV-9619.- Dacitas anfibólicas (DC) discordantes sobre brechas piroclásticas de andesitas piroxénica (CP). Las estructuras planares de flujo de la dacita testimonian un avance de la masa extrusiva en la dirección marcada por la flecha, hacia el punto de toma de la fotografía. Al fondo, Meiniense calcáreo discordante N. de las Negras.

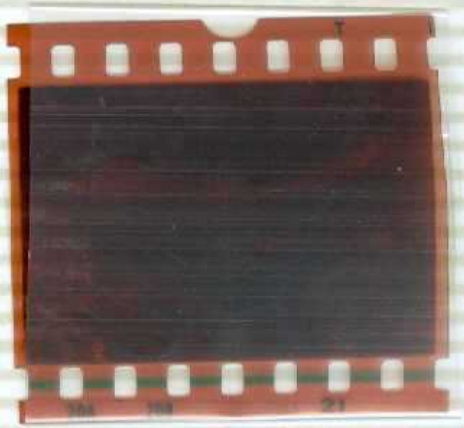

CP
CP
DC



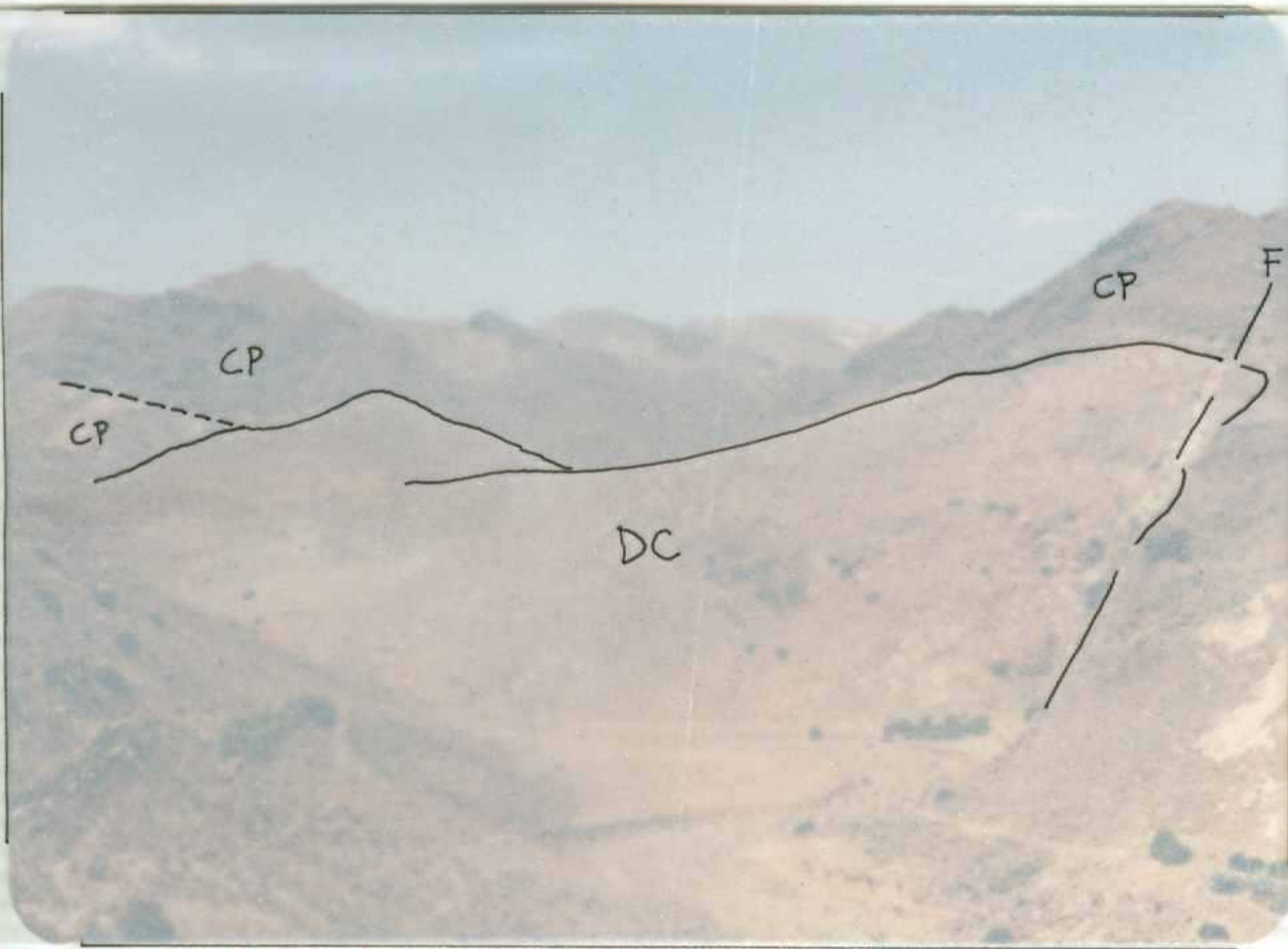
24/43-IB-PV-9620.- Dacitas anfibólicas (DC) discordantes en un paleo valle sobre brechas piroclásticas de andesita piroxénica (CP). Valle inmediatamente al O. del Cerro Caldear (NO. de las Negras, S. de la Hoja).


CP
CP
CP
DC





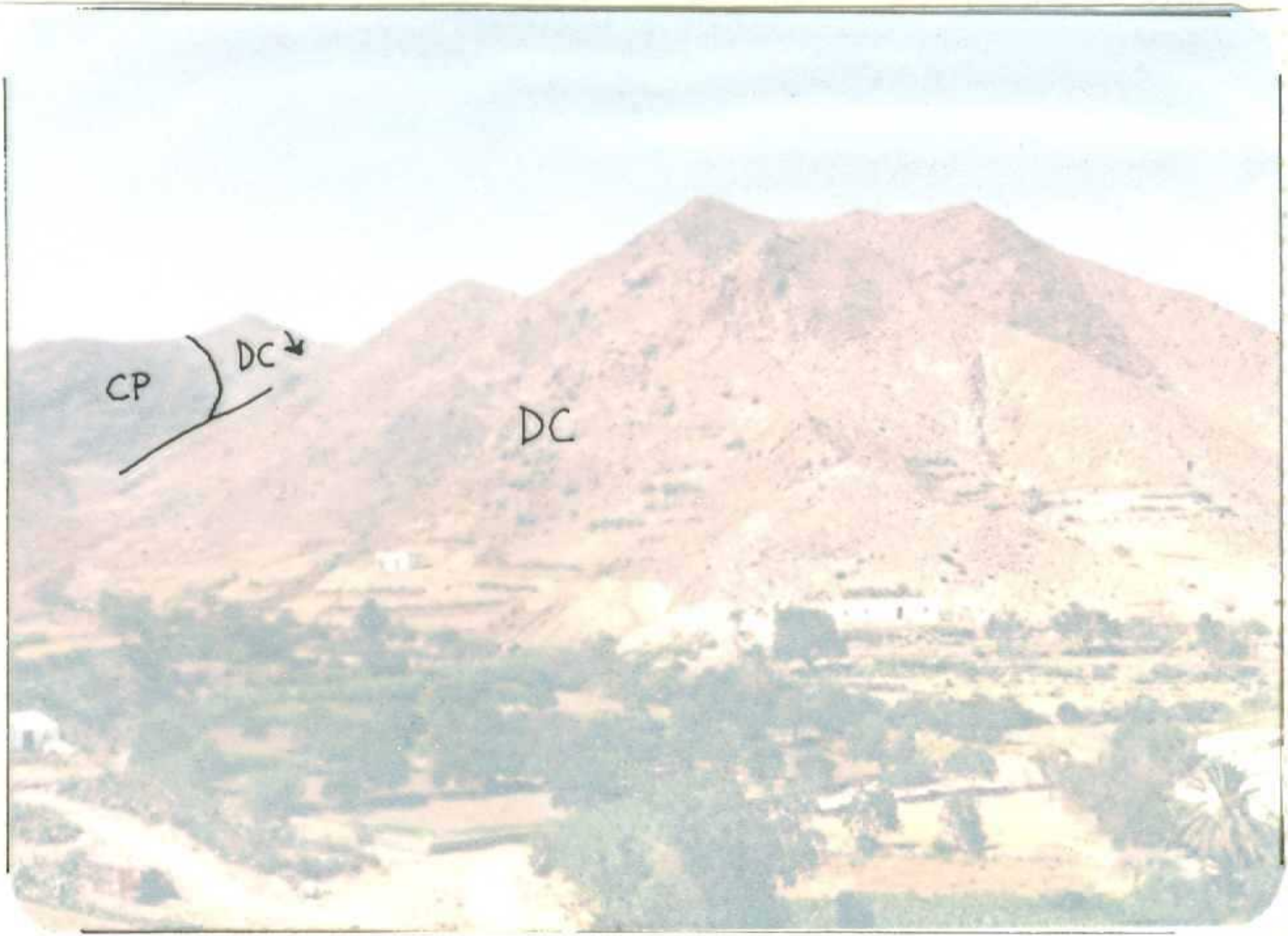
24/43-IB-PV-9621.- Dacitas anfibólicas (DC) discordantes en un paleovalle sobre brechas piroclásticas de andesita piroxenica (CP). Pequeña falla posterior (F). Valle inmediatamente al O. del Cerro Caldear (NO. de las Negras, S. de la Hoja).


CP
CP
CP
F
DC





24/43-IB-PV-9622.- Dacitas anfibólicas masivas (DC) probablemente constituyendo una potente colada pues en último término se aprecia su discordancia sobre las brechas piroclásticas de andesita piroxénica (CP). N. de Las Negras, S. de la Hoja.


CP
DC
DC





24/43-IB-PV-9623.- Estructuras de flujo en dacita anfibólica. N. de Las Negras y S. de la Hoja.



24/43-IB-PV-9624.- Dacitas alteradas de Rodalquilar (DAR) discordantes sobre andesitas piroxénicas (AP) y brechas piroclásticas de andesita piroxenica (CP). Area entre las Negras y Las Hortichuelas (S. - de la Hoja).

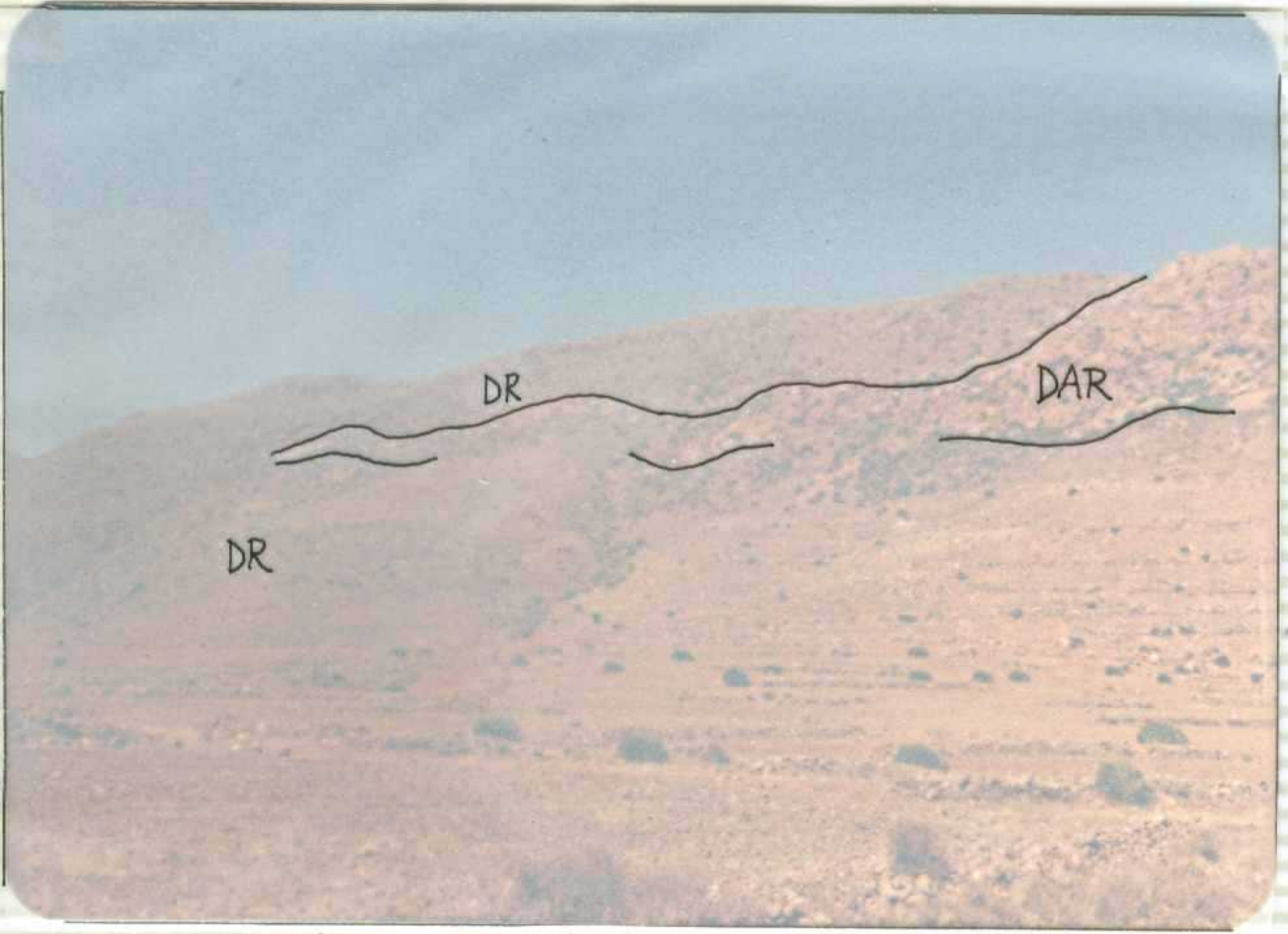

DAR
CP
DAR
AP

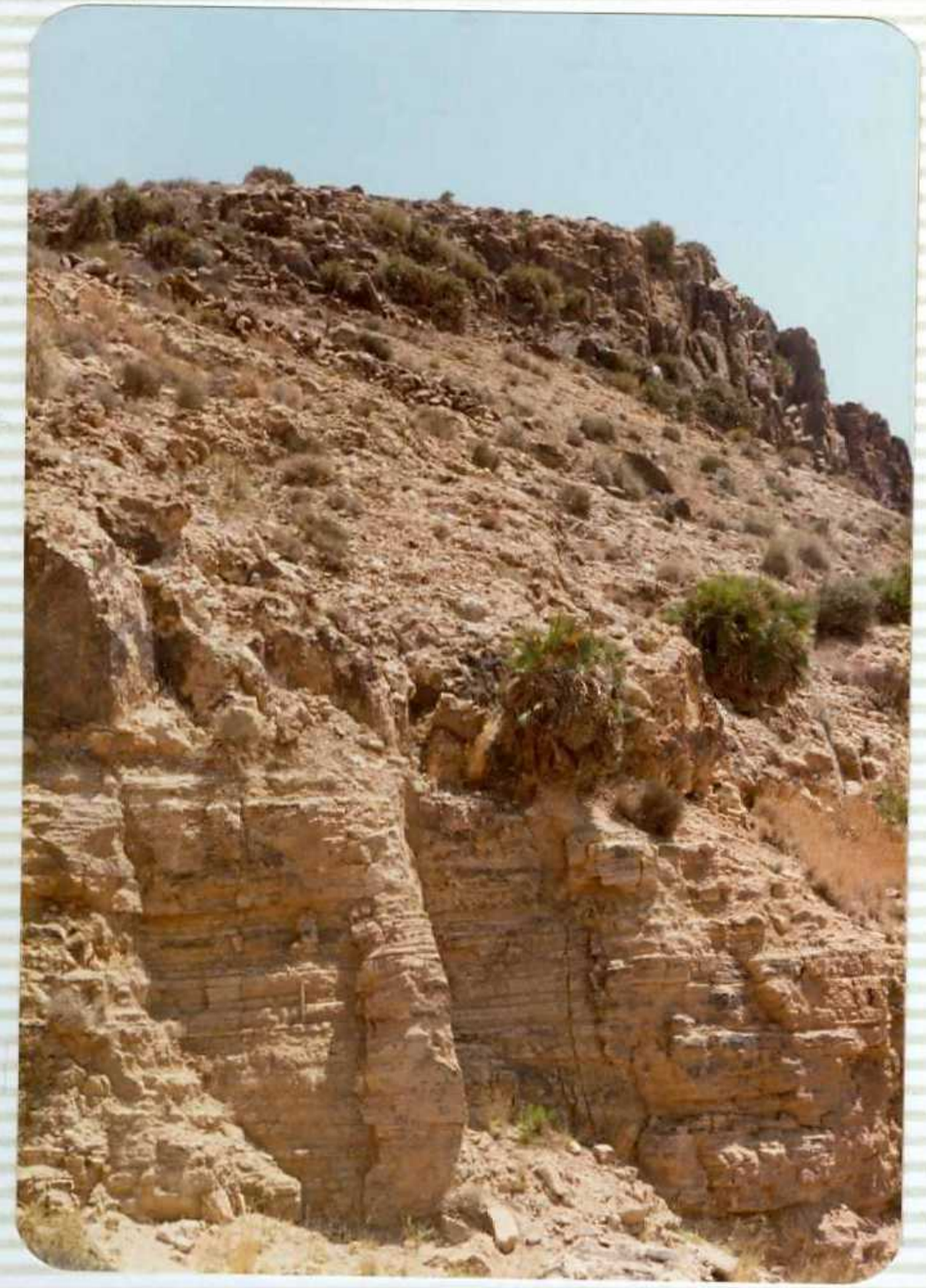


24/43-IB-PV-9625.- Dacitas alteradas de Rodalquilar en el Cerro del Cinto (Rodalquilar, S. de la Hoja). Se distinguen, en la parte alta, las escombreras de las explotaciones de oro, y en la baja, las antiguas para alunita (más blancas).



24/43-IB-PV-9626.- Paso lateral de las dacitas fuertemente alteradas de Rodalquilar (DAR) a las de tono rojo-violáceo normales (DR). Borde sur de la Hoja, al S. de Rodalquilar.

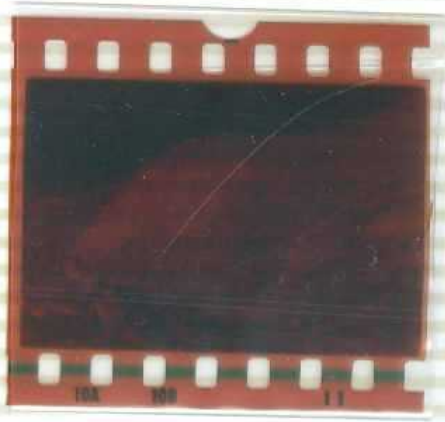

DR
DAR
DR



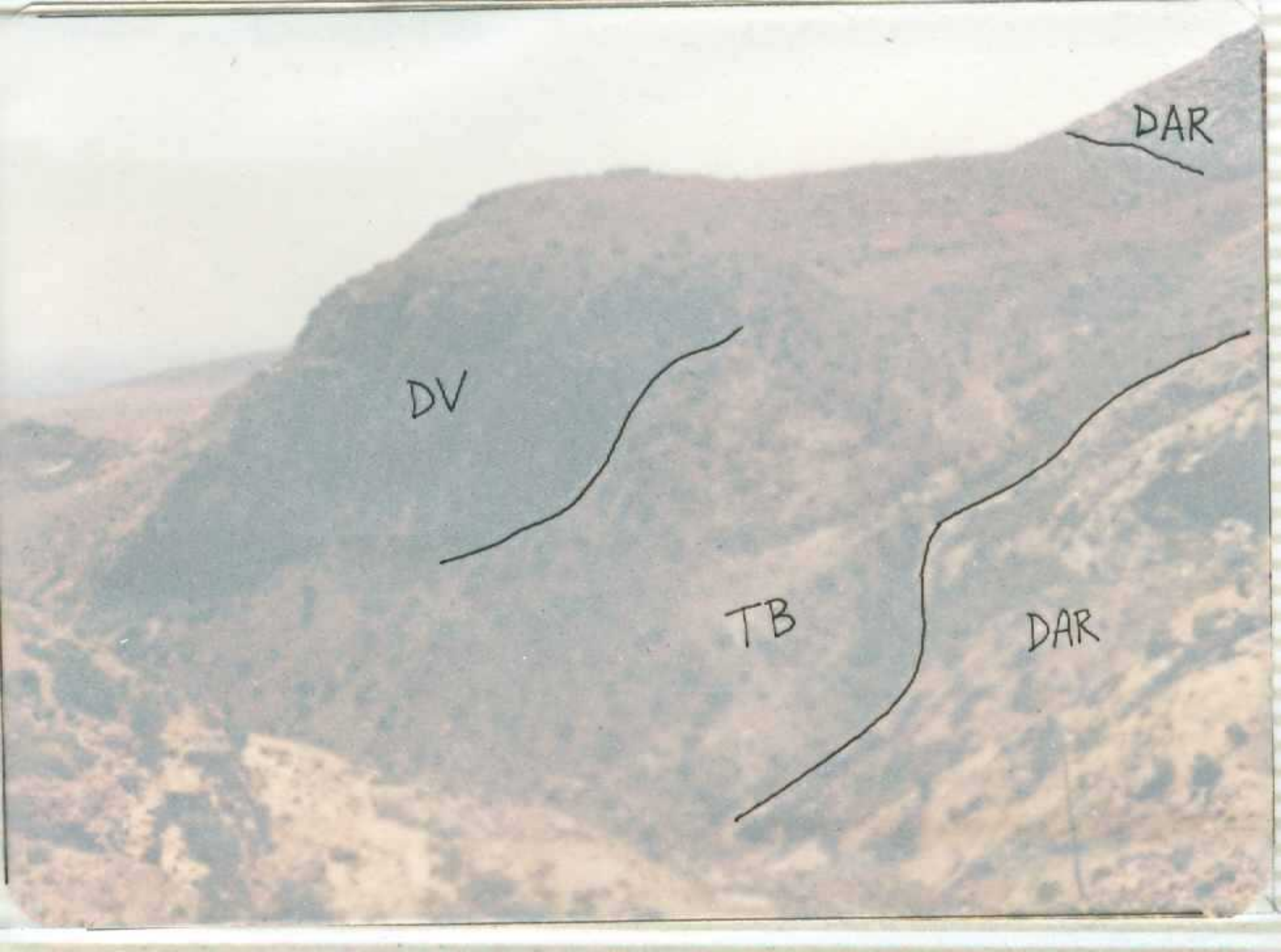


24/43-IB-PV-9627.- Parte basal del Complejo Torerillo (de Lodder 1966) constituido por dacitas verdosas potasificadas (afloramientos oscuros en la parte alta de la fotografía) formada por bre-- chas piroclásticas y tobas. O. de Rodalquilar (S. de la Hoja).

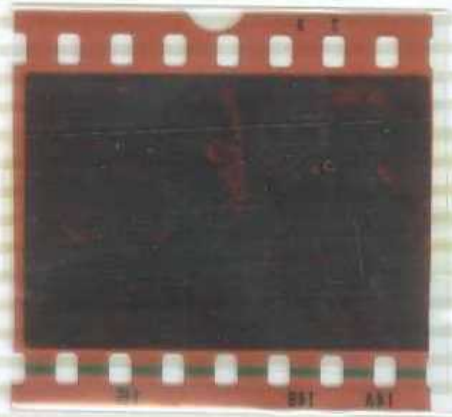




24/43-IB-PV-9628.- El Complejo Torerillo (de Lodder, 1966), constituido por dacitas verdosas con disyunción columnar (DV) y tobas y aglomrados basales (TB), discordante y apoyado sobre las dacitas alteradas de Rodalquilar (DAR). O. de Rodalquilar (S. de la Hoja).


DAR
DV
TB
DAR





24/43-IB-PV-9629.- Dacita cordieritico - almandínica del Hoyazo de Nijar (NO de la Hoja) en facies local brechoide. Se distingue la - profusión de cristales de almandina y la de microcristales cordieríticos.





24/43-IB-PV-9630.- El Hoyazo de Níjar (NO de la Hoja) en el que aflora un probable domo de dacita cordierítico-almandínica, erosionado y recubierto discordantemente por el Mesiniense calcáreo en facies de Talud arrecifal (parte alta, al fondo).



24/43-IB-PV-9631.- El Alpujárride en el NO. de la Hoja, constituido por (de muro a techo) micasquistos paleozoicos (PA), filitas y cuarcitas (FC) permotriásicas, y dolomías (DO) del Trías medio-superior.





24/43-IB-PV-9701.- Superposición de abanicos aluviales entre los que se - intercalan paleosuelos rojos y costras edáficas. El abanico superior -- presenta costra hojosa (59). Al fondo el relieve de la Serrata. Rambla del Artal.





24/43-IB-PV-9702.- Superposición de abanicos aluviales (59 y 65), separados por un paleosuelo rojo. Rambla de Bombón.





24/43-IB-PV-9703.- Sobre el Plioceno conglemerático, que presenta bancos cementados se apoya el abanico aluvial de cantos volcánicos, tonos pardo rojizos (49) que en parte es erosionado por el abanico del Pleistoceno medio (55) de limos rosados que a techo lleva una "dalle". Barranco Poveles.





24/43-IB-PV-9704.- Abanico aluvial del Pleistoceno medio (55) que presenta varias costras en las que se observan deformaciones a base de pequeños anticlinales y sinclinales. Rambla del Macho.



24/43-IB-PV-9705.- Abanico aluvial del Pleistoceno medio superior (59) - afectado por el paso de la falla de la Serrata (N 40° 45°). Observese la fuerte basculación del depósito hacia el NE. Próximo al Cerro de los Yesares.



24/43-IB-PV-9706.- Falla (N 20°) afectando a los depósitos del abanico aluvial del Pleistoceno medio (59), tonos rosados y costra hojosa a techo, con un salto de 1,50 m. La Serrata - Cerro Tostana.





24/43-IB-PV.907 Superposición de abanicos aluviales; el más antiguo erosiona con profundos canales al material volcánico, que presenta gruesos bloques en su depósito (49). Sobre él un depósito rosado -- del Pleistoceno Superior correspondiente a otro abanico aluvial(59). La Serranta proxima al Cortijo de Archidona.



24/43-IB-PV-9708.- Dunas oolíticas (63) asociadas en este caso a una playa Tirreniense con Strombus datada en 144.000 años B.P. En la parte superior otro ciclo dunar oolítico que incorpora clastos del inferior. El Playazo.